

МИНИСТЕРСТВО ГЕОЛОГИИ СССР  
ВСЕСОЮЗНЫЙ АЭРОГЕОЛОГИЧЕСКИЙ ТРЕСТ

ГЕОЛОГИЧЕСКАЯ  
КАРТА СССР

МАСШТАБА 1:200 000

СЕРИЯ СТАНОВАЯ

Лист №-52-II

Объяснительная записка

Составители: *М.Э.Глуховский, Н.Г.Кислякова*  
*Ю.В.Будаев*

Редактор *Ю.К.Дзевановский*

Утверждено Научно-редакционным советом Всегеи  
16 апреля 1964 г., протокол № 17

## ВВЕДЕНИЕ

Территория листа №52-1 относится к Тимитонскому району НАССР (северная половина), Зейскому району Амурской области (южная половина) и ограничена координатами  $127^{\circ}00'$ - $128^{\circ}00'$  в.д. и  $55^{\circ}20'$ - $56^{\circ}00'$ , с.ш.

Район расположен в центральной части Станового хребта, который протягивается с востока на запад и является здесь водоразделом рек Сутама и Брянты. Максимальные высоты хребта колеблются в пределах 1100-1401 м. Северная часть территории представляет собой средногорную страну с интенсивно расчлененным рельефом и разветвленной тидростью. Максимальная высота - 1672 м. Минимальные отметки (700-755 м) приурочены к долине р. Сутам. Область южных предгорий Станового хребта - умеренно расчлененное, сравнительно пологосклонное низкогорье. Средний уровень высот водоразделов - 800-950 м и лишь отдельные вершины достигают 1073 м (г. Луга), 1087 и 1168 м (отроги Становика).

Река Сутам течет в субширотном направлении, имеет широкую ( $1 - 3,5$  км) разработанную долину. Река многоводна, течение спокойное. Ширина русла 70-150 м, глубина до 5 м, скорость течения 0,9 м/сек. По реке встречаются острова и галечниковые косы, достигающие - 1000 м в длину. Река Сутам принимает ряд притоков, из которых наиболее крупными являются правые - реки Ниж. Джалинда и Большой Даурка. Река Ниж. Джалинда в верховых имеет быстрое течение, изобилует перекатами. Ширина долины 200-300 м. Ширина русла - 15-20 м, глубина до 3 м. Ниже левого притока р. Тарнак река более спокойна, долина расширяется, достигая в приусадебной части 2-2,5 км. Река Большой Даурка в верхнем течении имеет долину шириной 1,5-2 км, ниже устья р. Юкты (правый приток) ее долина резко сужается до 300-500 м, а ниже устья р. Мал. Даурки вновь расширяется, достигая в приусадебной части 2 км.

Область южных предгорий Станового хребта дrenируется системой р. Брянты. В верховых течение ее спокойно, река меандрирует в пределах широкого (до 1-1,5 км) разработанного днища долины. Ниже владения р. Уди долина сужается до 800-1000 м, течение становится более быстрым. Правый приток р. Брянты - р. Десс имеет

хорошо разработанную широкую (до 2 км) долину, течение ее спло-  
коно.

Суровый, резко континентальный климат характеризуется хо-  
лодной продолжительной, сравнительно малоснежной зимой (октябрь-  
апрель), коротким умеренно жарким долгим летом (июнь-август)  
и резкими суточными и годовыми колебаниями температуры. По дан-  
ным метеостанции пос. Чульман, расположенной в 200 км запад-се-  
веро-западнее территории листа №-52-Л, среднегодовая температу-  
ра (-8,2°), среднемесячная июля (+15,7°), января (-36,6°),  
минимальная января (-61°). Среднегодовое количество осадков -  
494 мм, причем в летний период выпадает до 60% всех осадков.  
Повсеместное развитие многолетней мерзлоты.

Характер растительного покрова соответствует климатиче-  
ским и высотным уровням района. По долинам и низким частям сло-  
нов до уровня 1000 м на супесчаных и суглинистых почвах растут  
листенница, ель, береза, осина. Выше преобладают заросли кед-  
рового стланника, ерика. В горьловом поясе выше 1200 м господ-  
ствуют мхи и лишайники, и разбросаны островки низкорослого  
стланника и карликовой бересмы.

Животный мир разнообразен. Встречаются медведи, лисицы,  
волки, росомахи, риси, белка, лоси, дикие северные  
олени. Мир пернатых представляют тухарь, куропатка, рябчик,  
туси, утки. В реках много тайменя, ленка, хариуса, щуки.

Постоянного населения в районе нет. В прошлом на его тер-  
ритории имелся целый ряд небольших присковых поселков (Петров-  
ский, Андреевский, Викторовский, Октябрьский и др.), которые  
были заброшены в связи с прекращением работ. На р. Сутам, в  
устье р. Ниж. Джелида, расположена пос. Сутам (26 домов). В 1958 г.,  
в связи с укрупнением колхозов он был оставлен. Ближайшие насе-  
ленные пункты: пос. Потехино к югу от шлюза листа в 99 км;  
пос. Боннак к юго-востоку в 118 км; пос. Нагорный в 260 км к за-  
паду. Эти поселки связаны с территорией листа №-52-Л насытными  
дорогами и вьючными тропами. На р. Сутам в 1 км ниже пос. Сутам  
имеется коса, на которую в летний период (июнь-сентябрь) прины-  
маются самолеты АН-2.

В 1877 г. Верхнеамурской золотопромышленной компанией бы-  
ли открыты россыпи золота по р. Брянте и ее притокам. Примерно  
в эти же годы проводят работы Ниманской золотопромышленной ком-  
пании на реках Лесс и Бринте. Открытие россыпей в бассейне  
р. Ниж. Джелида, по данным Э.Э. Анерта (1928), связано с работами  
поисковых партий Ниманской золотопромышленной компании в 1891-

1892 гг. С 1899 по 1911 гг. в бассейне р. Ниж. Джелида работало  
8 присков.

С 1898 по 1915 гг. в Верхне-Зеиском и Алданском районах  
проводятся работы, возглавляемые Геолкомом. В 1902 г. Э.Э. Анерт  
(1908) совершил маршрут по р. Лесс, через Становой водораздел в  
долину Андреевского Ключа, далее по р. Тарынак, через вершину  
р. Джелидакан в долину р. Сутам. В работе Э.Э. Анерта приведен  
литографический очерк, описание обнажений, а также приложена  
двухверстная маршрутная геологическая карта.

В 1929 г. в бассейне р. Ниж. Джелида и в верховых р. Мал.  
Дауки под руководством Д.В. Вознесенского (1930) работала Су-  
тамская партия, в задачу которой входило проведение двухверст-  
ной геологической съемки с целью выяснения золотоносности. В  
пределах изученной территории Д.В. Вознесенский выделяет две  
зоны широтного простирания: северную - приски Алексеевский,  
Веселый, Викторовский и южную - приски Петровский, Андреевский.  
Северная зона характеризуется развитием золотоносных кварцевых  
жил и является, по мнению Д.В. Вознесенского, наиболее благопри-  
ятной для открытия практически важных объектов. Для южной зоны,  
менее перспективной, характерно присутствие пиритизированных  
участков среди зеленых сланцев, с которыми и связывается золото.

В 1938 г. в верховых рек Ниж. Джелида, Мал. Дауки и Бол.  
Даура работала геологическая партия греста Якутского под  
руководством А.И. Кусса (1938). К отчету приложена геологическая  
карта масштаба 1:500 000. Древние метаморфические породы, раз-  
витые на этой площади, отнесены А.И. Куссом к Иянгрской серии  
архея, осадочные образования в районе р. Алексеевский Ключ - к  
дре.

Геологические карты Э.Э. Анерта, Д.В. Вознесенского и  
А.И. Кусса схематичны, так как составлены на глазомерной основе  
и по литогеологическому принципу. В большинстве случаев структур-  
ные факторы не учитывались, но несмотря на это, исследования  
Э.Э. Анерта, Д.В. Вознесенского и А.И. Кусса весьма ценные, посколь-  
ку являются первыми работами по геологии и орографии района, а  
их выводы о его золотоносности до сих пор служили основой для  
прогнозных оценок района (Зверев, 1928 г.; Андрианов, 1947 г.;  
Анерт, 1928 г.).

В период с 1938 по 1949 гг. силами поисковых партий Дам-  
букинского прискового управления треста Амурзолото в пределах  
золотоносных площадей р. Брянте и ее притоков осуществляются  
поисково-разведочные работы на россыпное золото (Левкин, 1949г.).

В 1951-1952 гг. по заданию Совета по изучению производительных сил при АН СССР А.А.Каденским (1953) проводятся тематические работы с целью изучения перспектив магнетитового оруднения по левобережью р.Сутам. А.А.Каденский отмечает, что ру-

ды Сутамского района представлены магнетитом, ассоциирующимся с кварцем, гранатом, пиритом, и представляют собой, по-видимому, осадочно-метаморфические образования. Непосредственно на территории листа №-52-II магнетитовые руды отмечаются А.А.Каденским и по р.Сутам в 15-17 км ниже устья р.Бол.Даурка.

В 1952 г. всякая половина территории листа №-52-II была занята в масштабе 1:1 000 000. Геологическую съемку осуществляла партия Дальневосточного геологического управления под руководством В.Ф.Зубкова (1953). Метаморфические породы, развитые в бассейне р.Брянты, были отнесены к архею. Как показали исследования последних лет (Дзевановский, Судников, 1960), подобные образования на смежных территориях относятся к нижнему протерозою области соединения Алданского щита со Становой орогенической зоной. Интрузивные породы В.Ф.Зубковым подразделены на докарбийские лейкократовые граниты, условно палеозойские граниты (массив на Междуречье Лесса и Брянты) и мезозойские гранодиориты и граниты. Одновременно В.Ф.Зубковым в районе бывшего присяга Октябрьского была произведена проверка заявки на медь. Было установлено, что месторождение меди, расположено по правому берегу р.Брянты в 120 км выше устья руч.Бончок, представляет практический интерес.

В 1953 г. поисковой партией Дальневосточного геологического управления под руководством Е.В.Минеева (1953) в районе

Брянинского месторождения меди были проведены поисковые работы масштаба 1:50 000. В работе Е.В.Минеева дается описание района месторождения и подробная характеристика медного оруднения.

В 1953 г. в бассейне р.Сутам (от устья р.Верх.Джелиды до устья р.Тас-Ирих) и на Междуречье Сутам-Тарынак партией под руководством Н.С.Шпак (1954) проводилась геологическая съемка масштаба 1:200 000 (Всесоюзный аэрогеологический трест).

В 1956 г. в бассейнах рек Сутам, Глаз, Унаха и Лесс съемочной партией Дальневосточного геологического управления под руководством М.М.Лебедева (1957) проводится геологическая съемка масштаба 1:500 000. Этими исследованиями охвачена северная часть территории листа №-52-II, также часть площади бассейна рек Лесс и Брянты. Архейские метаморфические образования, разбитые на территории листа, отнесены к Тимитонской и иентрской

сериям. В составе первой выявлены гиперстеновые гнейсы, а в составе второй - гранатовые, биотит-гранатовые гнейсы с прослоями кварцитов и кальцифирированных пород, датированные ранее археем или протерозоем, отнесены соответственно к протерозою и к палеозору.

В 1958 г. А.А.Зайцевой и др. (1959) (6-е Главное управление) на Междуречье Тарынак-Нии-Джелиды-Мал.Даурка производится маркрутные поиски масштаба 1:100 000 с целью оценки перспективности района на горный хрусталь. Отсутствие крупных выходов кварцитов и аллюитовых гранитов явилось основанием для отрицательной оценки территории на пьевеквард.

В 1959 г. партией № 16 Северной экспедиции МГИОН СССР под руководством Г.Г.Игнатьева (1960) была проведена аэромагнитная съемка масштаба 1:100 000 южной части территории листа №-52-II. Северная граница съемки проходит по Глановому хребту. Аэромагнитные съемки северной части территории листа №-52-II проводились партиями Октябрьской экспедиции в 1960 г.

В 1959 г. для смежной с севера территории листа 0-52-XXXII В.В.Архангельской (1959) была составлена геологическая карта масштаба 1:200 000.

В 1961 г. партиями ВАГА под руководством А.Г.Капа (1962) и Г.Б.Тимельдорфа (1962) на листах №-52-I и №-52-II были проведены геологосъемочные и редакционно-увязочные работы с целью подготовки к изданию этих листов геологических карт масштаба 1:200 000. На смежной с листом территории листа №-52-УШ проводилась аналогичная работа партией Дальневосточного геологического управления под руководством С.П.Нестеренко (1960).

В основу геологической карты масштаба 1:200 000 листа №-52-II положена геологическая карта, составленная М.З.Глуховским, Б.А.Микамовым, Н.Г.Кисляковой, Ю.В.Буффевым и др.(1962), проведившими геологосъемочные и редакционно-уязочные работы на территории листа. Редакция проводилась на площади, занятой Н.С.Шпак в 1953 г. В результате этих работ уточнен и выяснен ряд вопросов по стратиграфии,магматизму и полезным ископаемым. Стратиграфическое деление архея приведено к новейшей стратиграфической схеме, а осадочные породы, развитые в пределах Сутамской депрессии, отнесенные ранее Н.С.Шпак к юре, на основании определений флуорита датируются нижним юлом.

Геологические границы со смежными листами №-52-I, №-52-III и №-52-УШ увязаны. Частичная неувязка геологических границ со смежным с севера листом 0-52-XXXII объясняется следующими причинами. До последнего времени в составе метаморфических толщ

тимитонской серии включалась утенская свита, залегающая между нижнесуннатинской и верхнесуннатинской. В ее составе отмечались гиперстеновые и двуцирконевые гнейсы и кристаллические сланцы, гранатовые и гранат-биотитовые гнейсы. Поскольку эта свита не всегда четко картировалась, то она часто объединялась с верхнесуннатинской или с нижесуннатинской. Поэтому утенская свита не включена в сводную легенду Становой серии листов геологической карты СССР масштаба 1:200 000. В.В.Архангельской (1959) эта свита выделена, хотя, как показали увязочные маршруты по южной границе территории листа 0-52-ХХII, она по литогенетико-му составу может быть отнесена либо к нижесуннатинской (в случае преобладания гиперстеновых гнейсов), либо к верхнесуннатинской (в случае присутствия гранатсодержащих пород в основании). Увязка границ свит тимитонской серии с примыкающим с севера листом 0-52-ХХII и проведена по этому принципу. Следует отметить также, что в состав федоровской свиты В.В.Архангельской вводились гранатсодержащие гнейсы, которые считают самостоятельную улунчинскую свиту тимитонской серии (Фурман, 1961). Этим обясняется необивка геологических границ по северной рамке листа, так как породы, ранее относимые к верхам федоровской и к низам нижесуннатинской свит, на листе 0-52-ХХII (по его южной рамке) сейчас относятся к улунчинской.

СТРАТИГРАФИЯ

Стратифицируемые глины района сложены глубокометаморфизованными горнами архея и нижнего прокерозоя, осадочными и осадочно-вулканическими породами юры и мела, а также четвертичными отложениями.

АРХЕЙСКАЯ ТРУППА

В основу расчленения архейских метаморфических толщ на серии и свиты положена стратиграфическая схема архея Альданского щита, предложенная Л.С.Коринским (1959), разработанная Ю.К.Давыдовским и др. (1961), и уточненная работами геологов Южно-Якутской комплексной экспедиции Якутского геологического управления и Всесоюзного аэрогеологического Треста.

ской карты СССР масштаба 1:200 000. В.В.Архангельской (1959) эта сеть выделена, хотя, как показали увязочные маршруты по южной границе территории листа О-52-ХХII, она по литологическо-

Ингурская серия

Ингерская серия, представленная гранатодержащими гнейсами, кварцитами, и в меньшей степени пироксеновыми и амфибол-пироксеновыми гнейсами и кальцифарами, подразделится на две свиты — верхнеалданскую и Федоровскую.

Верхняя аланская свита подразделяется на нижнюю и верхнюю подсвиты.

Нижняя подсвитка (Asg<sub>1</sub>) выходит на поверхность на водо-разделах Тарынк-Чыз, Джелинда, Ник-Джелинда — верховья Мал.-Дауринки и протягивается полосой (3—4 км) на северо-запад от Станово-горного хребта до р. Тарынк. Она слагает ядро крупной антиклинали. Ввиду отсутствия достаточного количества коренных выходов, а также широкого развития диафториториентированных пород, разрез нижней подсвитки представляется в общих чертах (снизу вверх):

2. Пересыпание серых и буровато-серых мас-  
сивных и полосчатых гранатовых, силима-  
нит-диоптит-гранатовых, гранат-биотитовых

Сporадически в нижней подсвите встречаются маломощные прослои гиперстеновых гнейсов. Видимая мощность нижней подсвity — 1000 м.

Архейские метаморфические образования, развитые на территории листа, входят в состав ментрской и тимитонской серий, слагают немногим более 35% территории и распространены в бассейнах правых и левых притоков р. Сугам-Низ. Дальнида, Большой Даурей,

и полосчатыми гранатовыми, гранат-биоститовыми, листен-силлиманит-гранатовыми, кордиерит-гранатовыми, гиперстеновыми гнейсами, а также кварцитами. Последние тяготеют в основном к нижней части подсвиты, где слагают линзовидные (200 x 100 м) прослои. Видимость мощность верхней подсвиты - 2000-2100 м.

Видимая мощность верхнеалданской свиты - 3000-3100 м.

Гранатодержащие гнейсы имеют гранобластовую, гранодели-доминирующую, бластокакластическую, реже гранулитовую структуру. Они состоят из плагиоклаза-олигоклаза № 26 или андезина № 32 (40-60%), кварца (15-20%), калиевого полевого шпата (3-20%), граната (10-30%), биотита (1-20%). Аксессорные минералы: циркон, рутил. Силиманин-листен - и кордиеритсодержащие разности гранитовых гнейсов сходны с вышеописанными породами. Количество силиманина в них достигает 10%, листена - 5%, кордиерита - 10%.

В результате диафтореза значительная часть гранатодержащих гнейсов (водораздел р.Ниж.Джелinda - верховья р.Мал.Даурки, левобережье р.Ниж.Джелinda) превращена в серцит-кварцевые, хлорит-цемент-кварц-серидитовые, биотит-хлорит-серидитовые сланцы с характерной мелколиянистой текстурой, обусловленной скоплениями биотита и хлорита, развивающихся по гранату. Кварциты - массивные, глыбовые, изредка нечетко полосчатые породы южно-белого и голубовато-серого цвета с гетеробластовой, зубчатогранобластовой, мозаичной структурой. Преобладают разности, состоящие из кварца (90-95%), серциита (до 5%), плагиоклаза (0-5%). Полиминеральные кварциты содержат незначительное количество граната, силиманина, листена, графита.

**Ф е д о р о в с к а я с в и т а н е р а с ч л е н е н и я (Ard)** слагает незначительные площади в бассейне р.Тултикан и в верховьях р.Мал.Даурка. В ее составе отмечаются гиперстеновые, амфибол-пироксеновые, амфиболовые гнейсы, биотит-лев-пироксеновые кристаллические сланцы с линзами и прослонами амфиболитов, кальцифицированные и массивные флогопит-диопсидовых пород. В бассейне р.Тултикан Федоровская свита вскрывается в ядре антиклинальной складки и перекрыта породами вышележащей улунчинской свиты Тимптонской серии. В верховых р.Мал.Даурки породы Федоровской свиты слагают крышу крупной антиклинали и интенсивно изменены процессами регressiveного метаморфизма. Поэтому здесь геологические граници между Федоровской и вышележащей Улунчинской свитами проведены условно. Контакт Федоровской свиты с нижележащей верхнеалданской - тектонический (верховье рек Мал.Даурки и Бригты).

По р.Тултикан устанавливается следующий разрез Федоровской свиты (снизу вверх):

1. Светло-серые гиперстеновые гнейсы . . . . .	100 м
2. Мигматизированные серые и массивные гиперстеновые гнейсы . . . . .	200 "
3. Массивные гиперстеновые гнейсы, переслан- вающиеся с меланократовыми полосчатыми биотит-двупироксеновыми кристаллическими сланцами . . . . .	200 "
4. Массивные зеленые флогопит-диопсидовые породы . . . . .	20 "
5. Белые кальцифиры с желтыми окружными зер- нами оливина . . . . .	20 "

В верховых р.Мал.Даурки в Федоровской свите отмечается амфиболовые, амфибол-пироксеновые гнейсы и кристаллические сланцы, амфиболиты. В них встречаются маломощные прослои измененных гранат-биотитовых гнейсов.

Видимая мощность Федоровской свиты по р.Тултикан - 640 м, в верховых р.Мал.Даурки - 700-800 м.

Гиперстеновые гнейсы и биотит-двупироксеновые кристаллические сланцы, входящие в состав Федоровской свиты, сходны с таковыми в нижесуннатинской свите (см. ниже).

Кальцифиры, встречающиеся на р.Тултикан, характеризуются гранобластовой структурой и состоят из кальцита (70%) и оливина (30%). С кальцифирами ассоциируют массивные мелкозернистые светло-зеленые флогопит-диопсидовые породы, которые обладают зубчатогранобластовой структурой и состоят из диопсида ( $C:N = 40^{\circ}$ ) - 85%, флогопита - 10% и измененного плагиоклаза - 5%; акессорные апатит, реже циртолит и шинель.

#### Тимптонская серия

На Имерской серии несогласно залегает Тимптонская серия, в составе которой преобладают гиперстеновые двупироксеновые гнейсы и кристаллические сланцы с подчиненными гранатсодержащими гнейсами, кварцитами и кальцифирами. Несогласие устанавливается налеганием Улунчинской свиты, залегающей в основании Тимптонской серии, как на породы нижней подсвиты верхнеалданской свиты (среднее течение р.Тарынак, контакт перекрыт четвертичными от-

ложением), так и на Федоровскую свиту (верховая река Иад. и Большой Даурок), имеющие, благою размыту, сокращенную мощность по

сравнении с южностепной федоровской свитой (до 3000 м) на северо-восточных склонах (Кал., 1962). В пределах листа Тимптонская серия подразделена на Угличинскую, нижнесундатинскую, верхнесундатинскую и кирсановскую свиты.

Улучинская свита (*АиС*) обнажается на водо-разделе Сутам-Тарынак, по правобережью р. Сутам (реки Тутыкан, Тас-Ирх) и в верховых р. Мал. Даурка. По право- и левобережью р. Тутыкан породы улучинской свиты слагают крылья антиклинальной структуры. В нижнем течении р. Тас-Ирх на водоразделе Сутам-Тарынак и на правобережье р. Ниж. Джелида свита вскрывается в ядрах антиклиналей. Улучинская свита сложена гранат-биотитовыми, графит-гранат-биотитовыми, гранат-тилерстен-биотитовыми, гранатовыми гнейсами с редкими и малоощущими прослоями биотитовых, силимант-листен-гранатовых гнейсов, тилерстеновых, дву-пироксеновых и миопсидовых кристаллических сланцев.

## 1. Митоматизированные биотитовые и гранат-био-

Гиперстеновые, лейшироксенные, амфибол-двулироксенные кристаллические сланцы имеют незначительное распространение в ульчинской свите и охарактеризованы ниже при описании пород нижне-сунгатинской и верхне-сунгатинской свит.

Н и ж н е с у н н а г и н с к а я с в и т а (An<sup>5</sup>). Породы нижнесуннагинской свиты распространены по р.Гидат, в нижнем течении Ниж.Джелиды и на водоразделе рек Сутам-Тарылак. На водоразделах рек Ниж.Джелинда — Мал.Даурка и Мал.Даурка-Бол. Даурка они слагают ядра антиклиналей и согласно перекрываются гнейсами верхнесуннагинской свиты. Нижнесуннагинская свита отличается монотонностью состава и однообразием строения. В ее составе преобладают гиперстеновые, друпироксеновые кристаллические сланцы и гнейсы, переслаивающиеся с амфибол-пироксеновыми, биотит-пироксеновыми гнейсами и кристаллическими сланцами. В зерках присутствуют гранат-гиперстеновые кристаллические сланцы, кабакта, следуяший (снизу вверх):

На водоразделе Сутам-Гаринак в составе улунчинской сопы появляются силимант-дистен-транковые гнейсы.

Гранат-омитовые, гранатовые и силиманин-ди-  
мандань Улунчинской свиты около 2400-2500 м.

твые гнейсы улугучинской свиты аналогичны подобным же породам верхнеильданской свиты.

Графит-гранат-биотитовые гнейсы обладают гранолепидобла-

Графит-гранат-биотитовые гнейсы об

зущие минералы представлены в виде пылеватых зерен (35-40%),  
капелей (5-20%) и тонких  
пленок (10-15%).

Пиопсиевые кристаллические стеклы имеют сплошной цвет от зеленовато-серого до зеленого. Аксессуары — апатит, циркон.

**окраску, массивную или неяснополосчатую текстуру и гранобластов буд структуру. Они состоят из птигийомаз-андезита № 40-48 (10-  
15% птигийомаза) и гранобластов буд структуры.**

50%), диопсида ( $\text{Ca:Ng} = 38-44^0$ ;  $\text{Ng-Np} = 0,025$ ;  $2V = 54-55^0$ ) — до 50%, калиевого полевого шпата до 40%. Из акцессорных минералов преобладает сфен (до 3%), встречается апатит.

Типерстеновые, двутироксеновые, амфибол-двутироксеновые кристаллические сланцы имеют незначительное распространение в

УЛУНЧИНСКОЙ СВИТЕ И ОХАРАКТЕРИЗОВАН НИЖЕ ПРИ ОПИСАНИИ ПОРОД НИЖНЕСУНГАТИНСКОЙ И ВЕРХНЕСУНГАТИНСКОЙ СВИТ.

Н и ж н е с у н н а г и н с к а я с з и т а (Ans.). Породы нижесуннагинской свиты распространены по р.Гидат, в

нижнем течении Ниж.Джелиды и на водоразделе рек Сутам-Тарннак. На водоразделах рек Ниж.Джелиды — Мал.Даурка и Мал.Даурка-Бол.

даурка они слагают ядра антициркулей и согласно перекрывают гнездо верхнесунтинской ситы. Нижнесунтинская сита отливается краем.

частей многослойного состава и однородностью строения. В ее составе преобладают гиперстеновые, двухирисковые кристаллические сплиты и тонкими перистоватыми, а также тонкими

ионит-микрокомпонентами, а также с кристаллическими и кристалло-микроинкрустированными, гнейсами и кристаллическими сланцами. В верхах присутствуют гранат-типстечевые кристаллические сланцы.

Разрез нижнесунгайской свиты по водоразделу рек Сутам-  
Кабакта следующий (снизу вверх):

8. Гранат-биотитовые гнейсы с отдельными про-  
слоями тиерстеновых гнейсов и лиопсидовых кристал-  
лических сланцев

Общая мощность разреза - 2340 М

с гнейсами	1300	М
2. Гиперстеновые кристаллические сланцы	350	"
3. Гранат-гиперстеновые кристаллические слан-		

ци среднезернистые, переслаивающиеся с гиперстенами и пироксен-транат-биотитовыми кристаллическими сланцами . . . . .

Мощность нижнесуннагинской свиты – 1900–2000 м.

250 м

Гиперстеновые кристаллические сланцы обладают темно-бурой и темно-серой окраской, массивной текстурой; в зонах мигматизации приобретают полосчатую текстуру. Структура гранобластовая. Состав: плагиоклаз-андезин № 35–48 (40–60%), гиперстен (60–40%), иногда – единичные зерна биотита; акцессорные – магнетит (1–3%), апатит.

Двутироксеноевые кристаллические сланцы – массивные и нечеткоПолосчатые породы зеленовато-серого, буровато-зеленоватого, темно-серого цвета с гранобластовой структурой. Состоит из плагиоклаза-андезина № 43 и лабрадора № 62 (40–50%), гиперстена (10–30%), моноклинного пироксена (5–30%). Моноклинный пироксен ( $C:N_E = 38–40$ , редко  $43^\circ$ ;  $N_E-N_P = 0,024$ ,  $2V = 54^\circ$ ) относится к мало железистому диопсиду.

Амфибол-тироксеноевые и биотит-тироксеноевые кристаллические сланцы отличаются от вышеописанных пород более четкой сланцевостью (в случае присутствия биотита), темно-зеленой, иногда до черной, окраской. Структура – лепидогранобластовая, нематогранобластовая, гранобластовая. Состав: плагиоклаз (45–55%), пироксен или только гиперстен или диопсид (10–20%), буровато-коричневый биотит ((5–35%), бурая роговая обманка ( $C:N_E = 13$ ,  $2V = 78–80$ ;  $N_E-N_P = 0,020$ ) – 10–20%.

Гиперстеновые, биотит-гиперстеновые гнейсы – лейкократовые породы зеленоватой, ржавчато-серой, буроватой окраски с полосчатой текстурой и гранобластовой, гетеробластовой, лепидогранобластовой структурой. Состав: плагиоклаз-биотокла № 29, андезин № 38–45 (40–60%), кварц (20–30%), биотит (5–15%); акцессорные – магнетит (3–7%), апатит, циркон.

Гранат-гиперстеновые кристаллические сланцы, массивные средне- и мелкозернистые породы темно-бурового и ржаво-бурового цвета, в которых гранат и гиперстен образуют зерна одинакового размера (1–2 мм). Структура гранобластовая, лиабластовая. Состав: плагиоклаз – андезин-лабрадор № 50–52 (30–40%), гиперстен (35–50%), гранат (10–30%); в редких случаях присутствует длиопсид (10–15%) и зеленовато-бурая роговая обманка (до 15–20%).

Верхнесуннагинская свита обнажается на водоразделе городы верхнесуннагинской свиты обнажаются на водоразделе

Ниж.-Джелинда – Бол.-Даурка, где они приурочены к склонам вытянутым синклиналям. В бассейне р.Бол.-Даурка и в прильвовой части р.Гидаг верхнесуннагинская свита залегает в крыях крупной синклиналии и согласно перекрывает породами впадающей киринской свиты.

Верхнесуннагинская свита сложена гиперстеновыми, биотит-гиперстеновыми и амфибол-двутироксеноевыми кристаллическими сланцами и гнейсами. В ее основании повсеместно развиты гранат-трафлит-биститовые, гранат-биотитовые и гранатовые гнейсы, гранат-гиперстеновые кристаллические сланцы, переслаивающиеся с гиперстеновыми кристаллическими сланцами. По подошве этого горизонта (мощность его варьирует в пределах от 100 м до 600 м) проходит граница между нижнесуннагинской и верхнесуннагинской свитами.

Разрез верхнесуннагинской свиты на водоразделе Суган-Ка-бакта (снизу вверх):

1. Гиперстеновые кристаллические сланцы с многочисленными прослоями гранат-гиперстеновых кристаллических сланцев, графит-гранат-биотитовых, гранат-биотитовых и гранатовых гнейсов . . . . .	100 м
2. Гиперстеновые, реже биотит-гиперстеновые и амфибол-тироксеноевые кристаллические сланцы с прослоями гиперстеновых гнейсов . . . . .	1400 п
3. Гиперстеновые кристаллические сланцы и гнейсы с прослоями (5–10 м) гранатсолерадных разностей этих же пород . . . . .	600 п
4. Мигматизированные лейкократовые гиперстеновые и биотит-гиперстеновые гнейсы . . . . .	800 м
5. Меланократовые массивные гиперстеновые кристаллические сланцы . . . . .	200 п
6. Массивные, иногда тонколоскчатые гиперстеновые и биотит-гиперстеновые гнейсы . . . . .	300 м

В направлении на юго-запад полоса выходов пород верхнесуннагинской свиты расширяется за счет некоторого утолщения сдвигчатости. В этом же направлении изменяется и мощность гранатодержащих пород, которая постепенно увеличивается до 600 м (водораздел Бол. и Ниж.-Даурок).

На водоразделах Ниж.-Даурка и Бол. Даурки в ядрах складок瑪. Даурки и Бол. Даурки в ядрах складок

вскрывают в основной нижне гранатодержащие горизонты.

Мощность верхнесуннатинской свиты - 3500 м.

Гиперстеновые гнейсы и кристаллические сланцы верхнесуннатинской свиты по внешнему виду, составу, структурным и текстурным особенностям сходны с подобными породами нижесуннатинской свиты. Гранатодержащие гнейсы нижней части верхнесуннатинской свиты практически не отличаются от гранат-биотитовых, гранатовых и графит-гранат-биотитовых гнейсов верхнеалданской и улдичинской свит.

К ю р и к а н с к а я с в и т а (Акг.). Породы киринской свиты слагают незначительную площадь на водоразделе Сутам-Бол.Даурка и Сутам-Касакта и локализуются в ядре крупной синклиналии.

В низах киринской свиты залегают гиперстеновые, биотит-гиперстеновые гнейсы, гиперстеновые и двупироксеновые кристаллические сланцы с линзами моногранат- и полиминеральных кварцитов в основании, кальциевидов и диопсил-скаполитовых пород в средней части (нижняя толща). Выше эти породы сменяются гранатовыми, гранат-биотитовыми, графит-гранат-биотитовыми гнейсами, гранат-гиперстеновыми, гранат-гиперстен-биотитовыми кристаллическими сланцами с прослойками диопсиловых гнейсов и гиперстеновых кристаллических сланцев. В основании этой (средней) толщи залегают мощные линзы кварцитов, магнетитовых и гиперстен-магнетитовых пород.

В верхней части свиты отмечается лейкократовые гиперстеновые гнейсы с линзами кварц-магнетитовых пород и кварцитов.

Приступление кварцитов в основании нижней толщи позволяет четко провести границу между верхнесуннатинской и киринской свитами<sup>х</sup>. Разрез нижней толщи киринской свиты на водоразделе Сутам-Кабакта (снизу вверх):

1. Тёмно-серые гиперстеновые и биотит-гиперстеновые гнейсы с линзами магнетитов (10-20 м) линзоидными прослоями серых кварцитов в основании . . . . .	300 м
2. Массивные белые кварциты . . . . .	100 "
3. Гиперстеновые гнейсы с прослойками лейкократовых гранат-гиперстен-биотитовых гнейсов . . . . .	200 "

По правобережью р.Бол.Даурка, ниже устья р.Риты, в сред-

ней части нижней толщи отмечаются кальцифиры, переходящие в массивные диопсил-скаполитовые породы.

Наиболее полный разрез средней толщи киринской свиты устанавливается по левобережью р.Сутам, в 5-5,5 км ниже устья р.Бол.Даурки.

4. Тёмно-серые гиперстеновые гнейсы с прослойками зелёных диопсидовых гнейсов . . . . .	300 м
5. Массивные гиперстен-диопсидовые породы с гранатом . . . . .	20 "
6. Светлые кварциты . . . . .	30 "
Суммарная мощность - 950 м.	

<sup>х/</sup> Присутствие кварцитов в киринской свите, по-видимому, связано с фациальными изменениями свиты. В более северных районах Алданского штата кварциты в киринской свите отсутствуют.

- Прим. ред.

Лаурка в основании средней толщи отмечается белые кварциты. Подобные же породы залегают и в более верхних горизонтах. Кварциты образуют вытянутые линзообразные прослои мощностью от 60 до 200 м и протяженностью до 1,5-2 км. В верхах средней толщи на этом же участке появляются кварц-магнетитовые породы.

Мощности нижней и средней толщ киринской свиты варьируются в различных пределах для различных участков синклиналии. На западном крыле структура мощность нижней толщи 950–940 м, средней – 1500 м. Для южного крыла структуры мощности соответственно равны для нижней – 1680–1690 м, для средней – 820 м. Суммарная мощность обеих толл 2450–2440 для западного крыла и 2500–2510 – для южного.

Верхняя толща киринской свиты сложена лейкократовыми гиперстеновыми гнейсами с линзами кварц-магнетитовых пород и кварцитов. Мощность ее 500 м.

Мощность киринской свиты около 3000 м. Пироксенодержащие и большинство гранатсодержащих гнейсов и кристаллических сланцев киринской свиты аналогичны таковым в нижележащих свитах.

Гранат-тилерстен-биотитовые кристаллические сланцы, образуют мощные (до 200 м) выдерганные по простирации горизонты в средней части киринской свиты. Это черные, сурьи, зеленовато-бурые массивные или сланцеватые породы с крупными выделениями граната (0,3–3 см), характеризующиеся гранобластовой и диабластовой структурой. Состав: птигоклаз-андезин № 48 (15–20%), тильтерстен (30–40%), биотит (5–30%), гранат (20–30%). Аксессорные: магнетит, рутил, циркон и зеленая шинель.

Кальцифиры киринской свиты характеризуются более пестрым составом, чем кальцифиры Федоровской свиты: кальцит (40–85%), оливин (20–25%), диопсид (15–20%), флогопит (5–10%), скалолит (5%), шинель (5%). С кальцифирами часто ассоциирует диопсидовые и диопсид-скалолитовые породы массивного сложения, зеленого и травяно-зеленого цвета, состоящие из диопсида (40–90%) и скалолита (10–60%).

Кварциты имеют светло-серую, желтоватую, белую окраску, массивное сложение, гранобластовую и зубчатую структуру и состоят из кварца (80–90%), шапаклаза (5–15%), серидита (до 5%).

Кварц-магнетитовые породы образуют линзы мощностью 10–60 м. Это массивные, средне- и крупнозернистые породы черного и темно-серого цвета. Структура – гранобластовая, сидеронитовая. Состав: магнетит (60–80%), кварц (20–40%), тилерстен (5–10%).

Кварциты и высокоглиноzemистые гнейсы ингрской серии образовались, вероятнее всего, в результате метаморфизма кварцевых песчаников и песчано-глинистых отложений. Чарнокитовые породы тимитонской серии образовались, по мнению Г.К.Девятинского (1961), в результате метаморфизма эфузивных покровов андезитового состава. Присутствие в составе тимитонской серии гран-

товых, гранат-гранатовых и силиманитсодержащих гнейсов и кварцитов свидетельствует о переслаивании сравнительно маломощных территорий отложений с покровами эфузивов. Стратифицированность, согласные залегания свит и их участие в общей складчатой структуре подтверждают первично-осадочное и осадочно-эфузивное происхождение метаморфических пород архея. Парагенетический анализ показывает, что прогressiveный региональный метаморфизм архейских пород происходит в условиях гранулитовой фации. Эти процессы привели к образованию гнейсов и кристаллических сланцев с минеральными ассоциациями: кварц-силиманит-гранат-плати-платиоклаз-гранат-кориериит; кальцит-скалолит-диопсид-оливин – типичными для пироксен-трансилитовой субфации.

Регионально метаморфизование породы архея почти повсеместно подверглись действиям процессов митматизации и гранитизации, которые проявились в образовании различных типов митматитов (тениевые, птигматит и т.д.). Минералогические преобразования в митматитах выражены в проявлении вторичного кварца, калиевого полевого шата и ангидритов замещения.

Архейские обра зо вания н е р а с - ч л е н е н и е (А). Диафториты по архейским метаморфическим породам локализуются в бассейнах рек Петровский Ключ и Андреевский Ключ. Приналежность их к архею доказывается нали-чием диафторированных пород с реликтами минералов, характерных для пород архея (тилерстен, гранат и т.п.). Кроме этого, в поле диафторитов встречаются архейские аллюитовые граниты, которые менее подвержены диафторезу и хорошо распознаются. Диафториты отнесены к нерасщепленным архейским образованиям, так как невозможно определить принадлежность этих пород к какой-либо свите или свите архея.

Диафториты представляют собой тонко рассланцованные малокремнечные породы светло-зеленого, зеленовато-серого цвета. Структура лепидогранобластовая, нематобластовая, бластокатаклазическая. Породы состоят из кварца, мелких чешуек биотита, се-ридита, мусковита, хлорита, актинолита, tremолита, альбита, эпидота, помозита. Эти минералы находятся в различных количественных взаимоотношениях и образуют серидит-хлоритовые, эпидот-сио-ти-хлоритовые, кварц-серидитовые и другие сланцы. Таким обра-зом, диафториты по архейским образованиям – это породы, регрес-сивно метаморфизованные в условиях зеленосланцевой фации.

Диафторированные породы в отличие от диафторитов содержат многочисленные реликты исходных пород и минералов. Так, в высокотемпературных гнейсах сохраняется гранат, который подвергается развалыванию и частичному замещению биотитом и хлоритом; гиперстен (в гиперстеновых гнейсах) замещается амфиболом; кварциты сохраняют свой первичный состав. Граница между диафторитами, отнесенными к нерасщепленному архею, и диафторированными породами верхнеалданской свиты характеризуется постепенными переходами и проходит условно, по линии разлома. Граница между диафторитами и диафторированными раннепротерозойскими габбро, подвергшимися амфибослитизации — резкая, что обусловлено различием их первичного состава, а также наличием тектонического контакта.

Архейский возраст всех описанных выше метаморфических об разований доказывается наличием парагенетических ассоциаций минералов гранулитовой фации метаморфизма, характерных для пород, слагающих архейский фундамент большинства кристаллических щитов мира.

Абсолютный возраст пород Алданского щита определен свинцовым методом по монациту из биотитового гнейса-гранита Джелтулинской серии (бассейн р. Тыркан) и равен 2200-2400 млн. лет (Виноградов, Тутаринов, 1960).

ПРОТЕРОЗОЙСКАЯ ГРУППА

НИЖНИЙ ПРОТЕРОЗОЛ

Нижнепротерозойские метаморфические обнажения, развитые на территории листа, относятся к Иллинской и Сибиринской сериям. В их составе отмечаются амфиболовые, амфибос-биотитовые, гранат-биотитовые, биотитовые и другие гнейсы и кристаллические сланцы, а также амфиболиты. Эти породы прорываются нижнепротерозойскими гранитоидами, которые образуют вокруг себя поля мигматитов и гранитизированных пород. По зонам крупных разломов разбиты дифференцированные породы и вторичные кварциты.

Имканская серия

В Иликанской серии установлено шесть свит: сиваканская, чильчанская, кудиликанская, одонсийская, ляянская. На площади листа №-52-II выделена кудиликанская свита.

ло 30 м<sup>2</sup>) в бассейне верхнего течения р. Тарыкак, ограниченную со всех сторон разломами. Плохая обнаженность, метаморфизация, разобщенность выходов, отсутствие подстилающих и перекрывающих свит не позволяют установить какую-либо стратиграфическую последовательность в распространении петрографических разностей пород, слагающих кудаликанскую свиту, которая на основании выше-перечисленных причин индексируется с вопросом. Основной ее фон составляют роговообманиковые, биотит-роговообманиковые гнейсы и кристаллические сланцы, среди которых встречаются биотитовые и роговообманиково-биотитовые разности, а также, в меньшей степени, гранатодержащие гнейсы и амфиболиты. Видимая мощность кудаликанской (?) свиты определяется цифрой 1500 м.

песчаник и джильинские сланцы кудумиканской (?) свиты представляют собой среднезернистые, серые, темно-серые, зелено-вато-серые породы с тоннолобосчатой, иногда груболобосчатой текстурой. Состав: роговая обманка - до 50% (в амфиболитах до 85%), биотит - до 30%, плагиоклаз ( $\#$  30-45) - до 70%, кварц - до 20% (амфиболиты часто бескварцевые), микроклин - до 20%, гранат - до 3% (в гранатодержащих разностях); акцессории: сфен, апатит, орцит; вторичные: хлорит, серидит, эпидот (клинопомозит). Структура гранобластовая, пегробластовая, иногда не-магногранобластовая и лепидогранобластовая; в амфиболитах структура немагногранобластовая.

На площадях развития раннепротерозойских гнейсовых гранитов породы Кутуликанской (?) свидетельствуются мигматизация и гранитизация; они превращаются в биотитовые гранито-гнейсы. Процесс гранитизации выражается в образовании микроклина, расщеплении шапки оказа и замещении биотитом роговой обманки.

Брянинская серия

Стратиграфическое положение бринтинской серии установлено работами геологических партий Дальневосточного геологического управления в бассейне р.Унаха (100-150 км к юго-западу от территории листа Я-52-Л). Породы иликанской серии в бассейне р.Унаха слагают крыло крупной синклинали, в дне которой установлены метаморфические породы, состав которых отличен от подстилающих образований. Это послужило поводом для выделения в составе нижнего протерозоя Становой области бринтинской серии, застывшей выше иликанской и состоящей из трех свит: мульгинской, утугской и гудынской. Метаморфические породы, разрезы в бассейне р.Брнта, на основании сопоставления с данными смежными тер-

риториями, относятся к гудынской свите брантинской серии.

Следует отметить, что на территории листа отсутствуют одлонинская и джаннская свиты иликанской серии и мулумгинская и утугайская свиты брантинской серии. Выпадение из разреза ряда свит суммарной мощности порядка 1000 м может объясняться резким крутым падением северного крыла Унхинской синеклизы, проявленного мезозойскими гранитами и ограниченного с севера Джалонгом разломом. Однако это предположение недостаточно обосновано фактическим материалом, поэтому выделение брантинской серии и гудынской свиты является условным.

### Т у д и н с к а я (?) с в и т а (Ртжд?).

Метаморфические породы гудынской (?) свиты слагают несколько разобщенных протерозойских и мезозойских интрузиями участков в бассейне р.Брянты. В составе гудынской (?) свиты присутствуют: гранат-биотитовые и биотитовые гнейсы и кристаллические сланцы с редкими прослоями роговообманковых, роговообманково-биотитовых гнейсов и амфиболитов. На левобережье р.Брянты породы гудынской свиты подвергались значительным изменениям, связанным с процессами регressiveного метаморфизма и кремниевого метасоматоза (диафториты, вторичные кварциты).

Разрез гудынской (?) свиты по береговым обнажениям р.Брянты (снизу вверх):

1. Серые мелковзернистые тонкополосчатые биотитовые гнейсы, местами митматизированные . . . . .	300 м
2. Серые мелко- и средневзернистые биотитовые гнейсы с прослоями гранат-биотитовых гнейсов . . . . .	450 "
3. Светло-серые митматизированные мелко- и средневзернистые биотитовые гнейсы . . . . .	200 "
4. Серые средне- и крупновзернистые, иногда трубополосчатые гранат-биотитовые гнейсы . . . . .	100 "
5. Амфибол-биотитовые гнейсы и кристаллические сланцы . . . . .	100 "
6. Митматизированные светло-серые биотитовые гнейсы с редкими зернами граната . . . . .	100 "
7. Средневзернистые митматизированные гранат-биотитовые гнейсы . . . . .	150 "

Суммарная мощность по разрезу 1500 м.

По южной границе района, в верховых правых притоков р.Утугай, среди биотитовых и гранат-биотитовых гнейсов основания гудынской (?) свиты отличаются прослоем "жавых" гранат-биотито-

ых разностей.

Видимая мощность гудынской (?) свиты определяется в 1400-1500 м.

Биотитовые и гранат-биотитовые гнейсы, образующие основной фон гудынской (?) свиты, характеризуются гранолепидобластовой структурой и состоят из плагиоклаза № 15-20 (10-40%), кварца (5-40%), биотита (5-15%), граната - в гранатодержащих разностях (до 10%), калиевого полевого шата (до 10%). Иардка встречается мусковит (до 2%), эпилот (до 3%). Биотит-амфиболовые и амфиболовые гнейсы и кристаллические сланцы сходны с такими же породами кудуликанской (?) свиты.

Кварциты, которые отмечаются среди гнейсов и амфиболитов гудынской (?) свиты, имеют гидротермально-метасоматическое происхождение и развиваются по указанным породам. Переход от неизмененных гнейсов к кварцитам начинается с появления редких жилок кварца, переходящих затем в густую сеть прожилков, в результате чего амфиболиты (или биотитовые гнейсы) приобретают скрещиванную структуру, и заканчивается образованием мономинеральных белых кварцитов с реликтовой полосчатостью. Вторичные кварциты характеризуются мелковзернистой, реже среднезернистой микрогранобластовой структурой. В их составе доминирует кварц (99-100%). Наредка присутствует треплит и трахит.

В процессе митматизации гнейсы и кристаллические сланцы гудынской (?) свиты превращаются в биотитовые гранито-гнейсы с теми же минеральными преобразованиями, которые наблюдались в породах кудуликанской (?) свиты.

Регressiveный метаморфизм, наложенный на гнейсы и кристаллические сланцы гудынской (?) свиты, пространственно приурочен к зоне трещиноватости, протягивающейся по р.Утугай на северо-запад в устье р.Дамбуки-Макит. Диафториты представлены эпилот-карбонат-серцит-кварцевыми, серцит-кварц-альбитовыми, мусковит-хлоритовыми, эпидот-вантислитовыми и кварц-тремолитовыми сланцами.

Нижнепротерозойский возраст кудуликанской (?) и гудынской (?) свит устанавливается на основании следующих данных:

1. Верхняя возрастная граница определяется на основании несогласного налегания сибирских песчаников на кристаллические сланцы одлонинской свиты нижнего протерозоя. Это соотношение было отмечено Е.П.Миронюком (1951) в бассейне р.Хани (лист 0-51-ХХЛ - в западной оконечности нижнепротерозойской Становой складчатой области).

2. В отличие от архейских пород Алданского щита метаморфизованных в условиях гранулитовой фации, породы Становой складчатой области, относимые к нижнему протерозою, метаморфизованы в условиях амфиболитовой фации, что в настоящее время является одним из основных критериев разделения пород архея и протерозоя.

3. Отсутствие в пределах территории листа (и всей Становой области в целом) на плоскостях развития нижнепротерозойских образований аляскитовых гранитов, свойственных архею Алданского щита.

4. По замечению А.П.Виноградова и А.И.Тутаринова (1960), возраст пегматитов Станового хребта, рвущих нижнепротерозойские тектоники, определяется цифрой  $1900 \pm 100$  млн. лет, а инъецированных гнейсов одлонгинской свиты (бассейн р.Тас-Юрях, лист 0-51-XXXI) - 1940 млн. лет (определение по орбиту и монациту силициевым методом).

## П А Л Е О З О И С К А Й Т Р У Г П А

### ЮРСКАЯ СИСТЕМА НЕРАСЧЛЕНННАЯ (J)

Осадочные отложения относящиеся к юрским, слагают незначительные площади в среднем течении р.Ниж.Джелинды, на водоразделе Ниж.Джелинда - р.Мал.Даурка, в вершине р.Мал.Даурка, в нижнем течении р.Тарнак, на правобережье р.Джелиндакан. Они сложены слабометаморфизованными песчаниками, филлитовидными глинистыми сланцами и алевролитами, с редкими плохо сохранившимися отпечатками флоры. В верховых р.Мал.Даурки, на водоразделе Ниж.Джелинда, по р.Тарнак и на правобережье р.Джелиндакан юрские породы полого залегают на размывной поверхности архейского кристаллического основания. Ввиду плохой обнаженности, разрез юрских отложений представляется несколько схематично. В основании преобладают среднезернистые полимиктовые метаморфизованные песчаники, переходящие к верхам в более тонкозернистые алевролитовые разности с прослоями и линзами алевролитов и филлитовидных глинистых сланцев.

Возраст вышеописанных отложений устанавливается на основании споро-пыльцевых анализов. По данным М.М.Лебедева (1957), в юрских городах бассейна среднего течения р.Ниж.Джелинды установлены споры и пыльца покрытосеменных растений *Sphagnum glabrescens* (Nal), *Copiferales* sp., *Pollenitesanatus* Var., *Reticulatus* (Nal), *Zopolomopelta* sp., *Pinus pernobilis* Bolck,

Родивелла вр., которые характеризуют отложения как верхнепререские.

Мощность юрских отложений определяется условно в 250-300 м.

### МЕЛОВАЯ СИСТЕМА

#### Нижний отдел

Меловые отложения распространены в верховых р.Джелинда, среднем течении р.Тарнак (Сутамская депрессия), и на правобережье р.Брянта (Верхнебрянтинская депрессия). В составе меловых пород присутствуют: арковые и полимиктовые песчаники с прослоями аргиллитов, контломераты, туфопесчаники, туфоконтлераты, андезитовые порфириты, дацитовые порфириты и их туфы. Мелевые отложения подразделены на две свиты: удытансскую и тольяттинскую андезитов, дацитов, туфов, туфопесчаников, туфоконтлератов, туфобрекций.

УДЫТАНСКАЯ СВИТА (Ст1чп). В составе удытанской свиты участвуют контломераты, гравелиты и песчаники с прослоями аргиллитов. В большинстве случаев соотношения с архейскими, нижнепротерозойскими и юрскими породами тектонические. В нижнем течении руч.Бол.Безымянного отмечается налегание крупноглыбовых контломератов основания удытансской свиты на размытую поверхность промерозойских гранитов. В основании удытансской свиты выделяются крупногалечные контломераты с линзами и прослоями арковых и полимиктовых песчаников и гравелитов. Крупногалечные контломераты широко распространены на севере Сутамской депрессии сопредельного с запада листа №-52-1, где их мощность достигает 300 м. На территории листа №-52-1 контломераты встречаются по руч.Бол.Безымянному (левый приток р.Тарнак), где наблюдаются следующий разрез:

1. Кора выветривания протерозойских гранитов. Крупные (до 50-60 см в поперечнике) округлые глыбы в дресве этих же гранитов. Видимая мощность . . . . .	4 м
2. Конгломераты с хорошо окатанный галькой протерозойских гранитоидов размером 5-8, реже 10-15 см. Цемент песчанистый . . . . .	6 м
3. Песчаники серого цвета с 10-15 сантиметровыми прослоями гравелитов и глинистых сланцев с отпечатками плохо сохранившейся флоры . . . . .	0,8 м

В конгломератах, обнажающихся в среднем течении р.Тарыкак (по одному из его левых притоков) отмечается хорошо окатанная галька (5-10 см) метаморфических пород, гранитов и мелкоэристиких песчаников. Видимая мощность горизонта конгломератов 10-15 см. Выше конгломератов устанавливается следующий разрез ундытканской свиты:

1. Серые, зеленовато-серые мелко- и средне-зернистые, тонкослоистые полимиктовые песчаники, переслаивающиеся с более крупнозернистыми песчаниками, гравелитами и мелкогалечными конгломератами . . . . .	40 м
2. Зеленовато-серые полимиктовые песчаники, переслаивающиеся с алевролитами и глинистыми сланцами. . . . .	50 "
3. Массивные мелко- и среднезернистые желто-вато-серые и зеленовато-серые полимиктовые песчаники с маломощными прослоями темно-серых алевролитов с отпечатками плохо сохранившихся стеблей и листьев . . . . .	40 "
4. Зеленовато-серые среднезернистые полимиктовые песчаники с отпечатками <i>Coniopterus buejensis</i> (Zool.) Sew., <i>Nilssonia</i> sp. (верховья р.Джелендакан, 9,5-10 км выше устья) . . . . .	30 "

Мощность ундытканской свиты 300-400 м. К центральной части Сутамской депрессии (лист №52-1) ее мощность возрастает до 600 м.

По заключению В.А.Вахрамеева, *Coniopterus buejensis* (Zool.) Sew., *Nilssonia* sp. не являются руководящими формами, поскольку они имеют широкое вертикальное распространение от верхней при до нижнего мела. Поэтому возраст описанных отложений определяется по аналогии с породами центральной части Сутамской депрессии, с которыми они хорошо сопоставляются по составу и стратиграфическому разрезу. В среднем течении р.Верхняя Джелендака (лист №52-1) в песчаниках нижней конгломератовой толщи ундытканской свиты нижнего мела обнаружены отпечатки стеблей и листьев, среди которых В.А.Вахрамеевым определены *Cladophlebis sangarensis* Vach., известные из байлыкской свиты Якутии (неоком).

Т о л щ а з и д е з и т о в , д а п и т о в , т у ф о в т у ф о п е с ч а н и к о в , т у ф о к о н т л о м е - р а т о в , т у ф о б р е к ч и й (см.ст.). Тогда указанных

пород занимает часть Сутамской депрессии, входящей на террито-рию листа №52-1, а также слагает Верхнебрянтинскую депрессию. В составе той же отмечается туфопесчаники, туфоконгломераты с прослоями туфов и песчаников, андезитовые порфиры, дацитовые порфиры и их туфы. В Сутамской депрессии толща согласно залегает на отложениях подстилающей ундытканской свиты. На левобережье р.Ламбукы-Макит, водораздел Ламбукы-Макит-Эмбовьекачи (Верхне-брянтинская депрессия), наблюдается несогласное наложение туфо-конгломератов на гнейсы Гуинской (?) свиты нижнего протерозоя и протерозойские граниты. Толща андезитов, дацитов, туфов, туфо-песчаников, туфоконгломератов и туфобекций подразделяется на две части: нижнюю — туфогенно-осадочную и верхнюю — эфузивную. Туфогенно-осадочные образования развиты в Сутамской депрессии и слагают незначительную площадь в Верхнебрянтинской депрессии (второй раздел нижних течений Ламбукы-Макит-Эмбовьекачи). Наиболее полный разрез нижней части установлен на правобережье р.Брянты (снизу вверх):

1. Зеленовато-серые туфоконгломераты с галькой протерозойских гранитоидов, амфиболовых гнейсов, сцепментированной мелкоэристики туфогенных песчаниками с линзами зеленовато-серых среднезернистых полимиктовых песчаников . . . . .	10-35 м
2. Зеленоватые туфопесчаники, желтовато-серые окелезненные средне- и мелкоэристики полимиктовые песчаники и темно-серые, почти черные аргиллиты и глинистые сланцы, чередующиеся с редкими остатками обугленного растительного детритуса. Линзы туфоконгломератов и туфов среднего состава . . . . .	190 "
3. Пересяивание интенсивно окелезненных туфогенных песчаников, участками с косой слоистостью, гравелитов, грубозернистых вулканических брекций с туфовым цементом, измененных туфов среднего со-става, андезитовых порфиритов, дацитовых порфиров и их туфов . . . . .	75 "

Общая мощность — 255-300 м.

Эффузивы верхней части толщи андезитов и дацитов развиты в пределах Верхнебрянтинской депрессии, слагая около 60% ее пло-щади. Они полого залегают на туфогенно-осадочных образованиях нижней части и перекрывают на некоторых участках размыты поверх-

ностъ нижнепротерозойских образований. Слабая обнаженность затрудняет составление детального разреза, который схематично выглядит следующим образом (снизу вверх):

1. Темно-фиолетовые, темно-серые, зеленовато-серые плагиоклазовые порфириты с линзами и прослоями вулканических брекчий и туфов среднего состава . . . 140-150 м
2. Охристенные винные, темно-фиолетовые плагиоклазовые и кварц-плагиоклазовые порфириты массивной текстуры и их туфы (андезитовые и андезит-дацитовые порфириты) . . . . . 10 "
3. Лиловые, лиловато-серые, светло-сириеневые кварц-плагиоклазовые порфириты и их туфы (дацитовые порфириты) . . . . . 40 "

Общая мощность эфузивов в пределах Верхнебрининской лежащей - около 200-250 м.

Мощность вулканогенно-осадочной толщи составляет около 500-550 м.

Возраст вулканогенно-осадочных пород определяется по со-гласному их налаганию на флюористически окрашенные нижние мелкие отложения Ундыканской свиты, установленному в бассейне р.Джелингакан.

#### ЧЕТВЕРТИНАЯ СИСТЕМА

Среди четвертичных образований выделяются верхнечетвертичные, верхнечетвертичные - современные нерасчлененные и современные отложения.

#### Верхнечетвертичные отложения ( $Q_{III}$ )

Верхнечетвертичные отложения представлены аллювием второй и первой надпойменных террас. Отложения второй надпойменной террасы высотой 10-12 м широко развиты в долинах рек Десс и Бринты и на небольших участках по р.Сутам. Они характеризуются переслаиванием хорошо сортированных темновато-бурых мелкозернистых, сломистых песков с суглинками, хорошо окатанными галечниками, изредка валунниками. Мощность отложений второй террасы достигает 5-7 м.

Аллювиальные отложения первой надпойменной террасы широко

развиты в долинах рек Сутам, Тарынак, Андреевский Ключ и Петровский Ключ, по р.Мал. и Большому Дaurкам, Дессу, Брянте. По крупным рекам ее высота достигает 4-6 м, по мелким речкам - 2-4 м. По р.Сутам (в 500 м выше пос.Сутам) для аллювиальных отложений первоначальной террасы устанавливается следующий разрез (сверху вниз):

1. Почвенно-растительный слой . . . . .	0,5 м
2. Четкослоистые полимиктовые пески. Чередование 10-15 сантиметровых прослоев мелкозернистых песков, содержащих тонкие (2-5 мм) пропластки органического вещества и средне-, иногда крупнозернистых песков . . . . .	10 "
3. Талька местных пород хорошо окатанная, разнообразная . . . . .	2,0 "
4. Талька местных пород хорошо окатанная, разнообразная . . . . .	1,5 "

Споры и пыльца из рыхлых отложений описанной террасы р.Сутам характеризует суровые, по сравнению с современными, климатические условия, соответствующие, вероятно, последнему карбоновому оледенению верхнечетвертичного возраста (определение В.А.Калашниковой, лаборатория экспедиции № 8, ВАНТ). Следы верхнечетвертичного оледенения отмечаются в виде каров, расположенных в вершине правых притоков р.Ниж.Джелинцы. Верхнечетвертичные моренные отложения в районе не сохранились.

#### Верхнечетвертичные - современные отложения не-расчлененные ( $Q_{III-GU}$ )

Отложения представлены делювиальными и элювиальными отложениями, развитыми в районе повсеместно. Делювиальные отложения на геологической карте показаны лишь на тех участках, где их мощность превышает 10-15 м. Распространены они преимущественно в нижних частях склонов и особенно в бассейнах рек Сутам и Брянта. По рекам Сутам, Большому и Малому Дaurкам, Тарынаку, Нижнему Дарку и Дессу отложения делювиального шлейфа перекрывают верхнечетвертичные аллювиальные отложения низких террас и представлены субстратами, щебенкой и мелкими обломками пород и характеризуются отсутствием сортировки.

Элювиальные отложения представлены щебнисто-суглинистым

материалом и обломками. Их мощность незначительная и на геологической карте они не показаны.

#### Современные отложения ( $\Phi_{\text{Г}}\text{IV}$ )

Современные раковые образования представлены аллювиальными отложениями русел и пойм и техногенными отложениями. Аллювиальные отложения развиты в долинах всех рек и ручьев и представлены хорошо окатанными гальваниками, валунником, песками, суглинками.

Последние играют существенную роль на участках зерных долин, где суглинки чередуются с прослоями мелко- и тонкозернистого песка. По данным разведки, по р. Ниж. Джединца максимальная мощность современного аллювия не превышает 6 м. В долинах рек Сутам, Тарнак, Лесс и Бранты мощность руслового и пойменного аллювия, видимо, несколько более 6 м.

Техногенные отложения (отвалы золотых промыслов) отмечаются в долинах рек Андреевский и Петровский Ключ, по р. Ниж. Джединца и др. Они состоят из перемычек и пересложенных аллювиальных золотоносных отложений, содержит знаки золота (до 12 знаков на лоток).

## ИНТРУЗИВНЫЕ ОБРАЗОВАНИЯ

Интузивные породы пользуются широким распространением на территории листа. По времени образования они подразделяются на архейские, раннепротерозойские и раннемеловые.

### АРХЕЙСКИЕ ИНТРУЗИИ

Среди архейских интузивных пород в порядке возрастной последовательности выделяются: габбро, перидотиты и граниты альбаканитовые.

Г а б б о (уА) и п е р и д о т и т и (σА) отмечаются на лево- и правобережье р. Сутам, ниже устья р. Джединца, на востораделе рек Ниж. Джединца и Мал. Даурка в виде небольших массивов (1-2 км<sup>2</sup>), прорывающих породы архея.

Г а б б о - зеленоалюто-серые, полосчатые, реже массивные породы. Структура их габбровая, псевдоморфная с участками сидеритовых, местами - гранобластовая. Габбро состоит из широксена (30-40%), роговой обманки (10-50%), плагиоклаза-лабрадора № 62 (20-30%), биотита (до 5%); акцессорные минералы: циркон, монацит, титано-магнетит; встречаются разности, в которых отмечается до 2,5% граната.

Гиперстен и моноклинный пироксен замещаются уралитом и бесцветным актинолитом. Вокруг зерен бурой роговой обманки в результате замещения образуются калиевитовые каемки тонкозернистого актинолита с точечными включениями магнетита. Бурый сиенит по слаймам замещается эпидотом, плагиоклаз - соссиритом, серцитом и карбонатом, иногда альбитом. Периферические зоны крупных массивов и мелкие тела габброидов обычно преобразованы в основные кристаллические сланцы с гранобластовой структурой.

Перидотиты - массивные среднеалютистые темно-серые до черных породы. Состав они из широксена (60-70%), оливин (20-30%), магнетита (3-4%), единичных зерен плашоклаза (битовит № 72) и шинели. Структура панициоморфная. Пироксен представлен бесцветным энстатитом и слабо плексогромированным гиперстеном, которые замещаются (часто нацело) бледно-зеленым актинолитом и бурым уралитом. Оливин по трещинам замещается серпентином с выделением бурых гидроокислов железа. Магнетит рассеян по всей породе равномерно и иногда цементирует зерна широксена.

Архейский возраст габбро и перидотитов подтверждается приуроченностью их к архейским породам, с которыми они совместно метаморфизованы и прорваны архейскими аляскитовыми гранитами. А л я с к и т о в ы е г р а н и т ы (γ3А) встречаются повсеместно в пределах развития архейских стратифицированных толщ, образуя небольшие согласные тела и массивы (до 10-20 км<sup>2</sup>) неправильных очертаний. Граниты связаны с вымешивающимися породами послепленными переходами через различные виды мигматитов (тектонические, ленточные, агматиты и др.). Наиболее четкие контакты имеют розовые и серые граниты, распространенные в бассейне р. Сутам, в западной части района. Белые аляскитовые граниты, развитые в бассейне р. Большой Даурка, обычно более тесно связаны с вымешивающими породами и более неоднородны по структуре и текстуре. Как правило, в центральных частях крупных тел граниты характеризуются массивным слоистием, крупнозернистой аллотриморфной, реже гранитной структурой. На периферии массивов отмечаются гранобластовые структуры. В более мелких телах текстура гранитов грубогнейковидная, обусловленная субпараллельным расположением вкрапленных зерен кварца.

Аляскитовые граниты представлены средне- крупнозернистыми лейкократовыми серыми, белыми и розовыми породами и состоят из широксена (15-30%), калиевого полевого шпата (30-55%), кварца (25-30%), красно-бурового биотита (0,5-2,5%) и незначительного количества акцессорных: циркона, монацита, титано-магнетита; встречаются разности, в которых отмечается до 2,5% граната.

Платиоклаз представлен двумя генерациями: наиболее ранний обычно сильно серпентинизированный и ксеноморфный, отвечает олигоклазу № 13-17; более поздний, образующий довольно изометричные свежие зерна — альбиту № 3-7. Калиевый полевой шпат представлен ксеноморфными зернами ортоклаза ( $2V = -73\text{--}76^\circ$ ) и редчайшего микроклина ( $2V = -80^\circ$ ), обладающим перититовым строением (микроперитит распада и грубые струйчатые перититы замещения). Платиоклазы и калиевые полевые шпат замещаются албайтом (иногда с образованием мицеллитов), обрауздим вокруг них тонкие каёмки. Зерна кварца обычно имеют ксеноморфные очертания, волнисто покосаст, часто гранулированы и утолщены.

В зоне дифтореза (массив в бассейне рек Андреевский Ключ и Петровский Ключ) альбитовые граниты изменены. Полевые шпаты интенсивно серпентинизированы и соссиритизированы, кварц катаклизирован, траулеван и вытянут в линзовидные агрегаты, темно-цветные минералы хлоритизированы.

Жильная серия, связанная с альбитовыми гранитами, представлена ортоклектизитами и пегматоидами шлировыми обособлениями, расположеннымными в пределах тел гранитов, и, реже, пегматоидами жилами небольшой мощности (до 1 м), протяженностью до 2-3 м, изредка обогащенным гранатом (до 25-30%).

Архейский возраст альбитовых гранитов доказывается их развитием исключительно среди архейских метаморфических пород, которые минимализируются и инвазируются этими гранитами. Возраст идентичных гранитов на Алданском щите определен синтетическим методом (по монадиту) в 2300 млн. лет (Бычков, Тутаринов, 1960).

#### РЫННЕПРОТЕРОЗОЙСКИЕ ИНТРУЗИИ

Рыннопротерозойские интрузивные породы в возрастной последовательности подразделяются на: габбро, габбро-амфиболиты и амфиболиты; граниты мелкозернистые, биотитовые, гнейсовидные, транодиориты и кварцевые диориты амфибос-биотитовые, гнейсовидные; ашлитовидные граниты; граниты среднезернистые, биотитовые, гнейсовидные; жеффильты; диабазы.

ГабброН — амфиболиты, амфиболиты ( $\downarrow Pt_1$ ) составят четыре массива: Дучинский ( $160 \text{ км}^2$ ) в районе г.Луча, Тарынский ( $120 \text{ км}^2$ ) в бассейне р.Тарык и две небольшие интрузии на левобережье р.Брянты ( $27 \text{ и } 16 \text{ км}^2$ ). Интрузии характеризуются сложным строением и состоят из оливиновых, пироксеновых, урадитовых и соссиритовых габбро,

габбро-амфиболитов и амфиболитов.

Лучинский массив габброидов имеет в плане неправильную, обтекающую к изометричной форме. В его пределах наблюдаются постепенные переходы от оливиновых габбро до рассланцованных амфиболитов. Центральная часть массива ( $40 \text{ км}^2$ ) сложена неизмененными оливиновыми габбро-троктолитами, красные — пироксеновыми, уралитовыми, соссиритовыми, габбро, габбро-амфиболитами и амфиболитами.

Троктолиты — темно-серые до черных средне- крупнокристаллические породы массивной текстуры, мезо- или меланократовые. Состоит из платиоклаза и оливина. Платиоклаз (лабрадор № 65) образует короткопризматические, таблитчатые, четко сдвоиникованные кристаллы. Как правило, он замещается более кислым платиоклазом состава олигоклаза-андезина (№ 27-32), обрауздим отдельные зерна и мелкозернистые агрегаты. Оливин наблюдается в виде изометричных зерен с резко выраженным волнистым или мозаичным утасанием;  $2V = 85\text{--}88^\circ$ , характерный для магнезиально-железистых или железистых оливинов. Вокруг зерен оливина развиваются реакционные каёмки, состоящие из псевдороднического и моноклинного пироксенов, в свою очередь, замещающихся роговой обманкой. Интенсивность процессов изменения первичных минералов возрастает к периферийской части интрузива. Для троктолитов характерны габбровые структуры с элементами друзитовых и келимитовых. Аксессорные: магнетит, зеленая шпинель, изредка сульфиды и апатит.

Пироксеновые габбро — темно-серые, зеленовато-серые, массивные среднекрупнозернистые, меланократовые породы, состоящие из пироксенов (50-70%), основного платиоклаза — лабрадора № 60-65 и незначительного количества олигоклаза. По составу пироксенов выделяются три разновидности габбро: гиперстеновые, бронзитовые и диопсидовые. Пироксеновые габбро образовались за счет троктолитов, о чем свидетельствует наличие редких реликтовых зерен оливина внутри кристаллов пироксенов, а также однотипность состава платиоклазов, аксессорных минералов и структур пород.

Урадитовые и соссиритовые габбро приурочены к зонам разломов и являются результатом дальнейшего изменения троктолитов. Это зеленые, пятистые, среднезернистые массивные, гнейсовидные, иногда рассланцованные породы. Состоит они из урадитовой роговой обманки (содержащей иногда реликты моноклинного пироксена и замещающейся актинолитом) и платиоклаза. Платиоклаз представлен лабрадором № 60-65 и замещающим его олигоклазом № 24-28. В соссиритовом габбро платиоклазы интенсивно изменены и превращены

встречает албита, серцинта, минералы группы клиносиомианта—эпидота, хлорита и карбоната. В уралитовых и соссюровых габбро наблюдаются реликты габбророговых структур.

Габбро-амфиболиты — зеленовато-чёрные массивные, реже слабо гнейсовидные породы, среднезернистые, меланократовые. Они состоят из обычновенной роговой обманки (50%), плагиоклаза (андезина № 40–50) и реликтового диопсида (до 15%). В наиболее измененных разностях лиопсид полностью замещается роговой обманкой. Структура пород габбровая, в отдельных участках близкая к гранобластовой.

Амфиболиты — темно-серые, зеленовато-серые, гнейсовидные полосчатые мезо- или меланократовые породы, приуроченные к зонам рассланцевания в габбро. Они состоят из роговой обманки и серпентинизированного плагиоклаза (андезина № 32–50). Структура пород гранобластовая, реже гранобластовая или лепидогранобластовая. Амфиболиты, находящиеся вблизи выходов нижнепротерозойских лейкократовых гранитов, часто гранитизированы и превращены в амфибол-биотитовые мигматиты.

Тарынский массив и массивы на левобережье р.Брянты сложены габбро-амфиболитами, соссюритовыми габбро и амфиболитами, аналогичными породам Лучинской интрузии.

Жильные породы, генетически связанные с габбророговыми и амфиболизированными пироксенитами, горноледниками, гранатовыми амфиболитами и мелкозернистыми пироксен-роговообманковыми и уралитовыми габбро.

Раннепротерозойский возраст габбророгов устанавливается на основании того, что они прорывают нижнепротерозойские стратифицированные образования и прорываются лейкократовыми гнейсовидными гранитами нижнепротерозойского возраста, с которыми, вероятно, и связаны метасоматические преобразования габбророгов.

Граниты мелкозернистые, биотитовые, гнейсы и гнейсоизиды ( $\frac{1}{2}$  Pt<sub>1</sub>) обнаруживаются в районе Станового хребта (истоки рек Салакит, Зимовьекачи, Мал. Десс) и прослеживаются далее в юго-восточном направлении до р.Уугай. Граниты являются синороговыми, что обусловлено их согласное положение в нижнепротерозойских складчатых структурах, а также наличие посттектонических переходов через полосу мигматитов во вмещающие метаморфические толщи. В зоне контактов с гнейсами и кристаллическими сланцами гудынской (?) свиты широким разрывом пользуются теневые и полосчатые мигматиты. Внутри массивов гнейсовидных гранитов встречаются интенсивно гранитизированные

ксенолиты гнейсов. Ориентировка темноцветных минералов в гранитах и мигматитах согласна с простиранием полосчатости во вмещающих гнейсах. Граниты, расположенные в междуурье Уугай и Бринь, в значительной степени диагностированы и участвуют в серцит-кварц-полевошпатовые рассланцеванные породы.

Биотитовые граниты — балки, светло-серые, розово-белые мелкозернистые, гнейсовидные, реже массивные породы, иногда содержащие порфиробласти (1–2 см) калиевого полевого шпата (до 30%), кварца (25–30%), биотита (до 5%), единичных зерен роговой обманки и акцессорных (циркон, апатит, магнетит). Структуры гранобластовые, бластокатастические, цементные. Плагиоклаз — олигоклаз № 26–30 образует изометричные зерна. Иногда катаклазирован, замещен микроклином. Калиевый полевой шпат представлен неравномерным микроклином, также слагающим изометричные зерна. В наиболее катаклазированных разностях появляется вторичный микроклин (до 7%), цементирующий и замещающий раздробленную кварц-полевошпатовую массу породы. Листы буро-зеленого биотита иногда содержат мелкие зерна циркона. Граниты с метасоматическими вкраплениями калиевого полевого шпата отличаются наличием крупных зерен микроклина, расположенных иногда цепочками и обусловливающих очковую текстуру пород.

Жильная серия гранитов представлена редкими и маломощными аplitовыми и крупнокристаллическими кварц-полевошпатовыми жилами. Внедрение гранитов происходило, по-видимому, в момент интенсивных складчатых движений, завершивших тесоникайнальное развитие Становой зоны, о чем свидетельствует их согласное залегание с нижнепротерозойскими складчатыми структурами.

Ассортиментный возраст жильного комплекса подобных гранитов, различных в верхне-Альдане (лит. 0–51–ХХII), определен в 1900–100 млн. лет (по орбиту и монациту из пегматитов, найден А.П.Винсградова и А.И.Тугаринова, 1960).

Гранодиориты, квартцевые диориты и амфибол-биотитовые, гнейсы и линзы ( $\frac{1}{2}$  Pt<sub>1</sub>) слагают массивы на левобережье р.Брянты площадью 40 км<sup>2</sup>, а также две небольшие (4 км<sup>2</sup>) интрузии на левобережье руч. Бол.Базынный. Брянтинский массив имеет овальную, несколько вытянутую в северо-западном направлении форму. Гранодиориты прорывают габбророги Лучинского массива и гнейсы гудынской (?) свиты. Среди гранодиоритов часто встречаются ксенолиты фельдспатизированных габбро и неизмененных гранат-биотитовых и

биотитовых гнейсов гудынской (?) свиты. На их размитой поверхности залегают базальные континентальные зоны нижнего возраста.

Гранодиориты — среднезернистые, нередко порфировидные гнейсовые, иногда массивные породы. Для них характерны такситовые текстуры, обусловленные неравномерным распределением темноцветных минералов. В порфировидных массивных разностях идиоморфные вкраплениники калиевого полевого шпата содержат зонально расположенные пойкилитовые вrostки темноцветных минералов. В гнейсовых гранодиоритах вкраплениники располагаются субпараллельно. Гранодиориты состоят из плагиоклаза (до 60%), кварца (20-25%), калиевого полевого шпата (до 10%), биотита (до 10-15%), роговой обманки (до 5%), граната (до 2%), эпидота (до 7%). Кварцевые либо риты характеризуются отсутствием калиевого полевого шпата. Для гранодиоритов характерны гипидиоморфные зернистые, реже гранатовые и аллограниоидные зернистые, гранобластовые структуры. Плагиоклаз образует таблитчатые и удлиненные кристаллы, а также зерна неправильной формы. Как правило, неясно зонален: во внешних зонах силикоклаз № 27, в центральной части андезин № 34-35. Калиевый полевой шпат резко ксеноморфен; 2V от -54 до -84°. Кварц обрамляет крупные округлые, часто трещиноватые зерна. Биотит наблюдается в виде пластин, иногда замещен эпидотом. Роговая обманка обыкновенная, гипидиоморфная, С : № = 19°, 2V = 79-84°. Гранат встречается в виде округлых слаботрещиноватых зерен. Эпидот, как правило, идиоморфен, окрашен в бледно-желтый цвет и распространяется по массиву равномерно.

Жильная серия гранодиоритов представлена гранатодержащими маломощными (10-15 см) прожилками аplitов и жилами пегматитов (толщина до 0,5 м), локализующихся в основном в пределах массива.

Нижняя возрастная граница гранодиоритов определяется тем, что они прорывают нижнепротерозойские гнейсы, а также мелковерхние, биотитовые, гнейсовые граниты. Пространственная и структурная связь гранодиоритов с нижнепротерозойскими метаморфическими образованиями, конкордантный тип интрузий, а также математизация гранодиоритами нижнепротерозойских метаморфических пород, позволяет предполагать, что формирование этих интрузий происходило во время нижнепротерозойской гранитизации.

Аппарат гранодиоритов (и Рт<sub>1</sub>) слагает ряд небольших массивов и тел площадью от 2,3 до 10 км<sup>2</sup> в бассейне верхнего течения р. Тарыкак. Они прорывают раннепротерозойские

гнейсы габброиды, в плане имеют овальную форму, окружены зонами магматитов и агматитов, ширина которых не превышает первые сотни метров. Реже граниты слагают маломощные (5-10 м) жилы, секущие габброиды.

Граниты представляют собой массивные мелковерхние, реже, среднезернистые породы, состоящие из плагиоклаза (35-80%), кварца (20-30%) и микроклина (до 35%, акессорные: сфеен и магнетит). Преобладают катакластические, неравномернозернистые до блестящиметниковые структуры. В более съемных разностях наблюдаются амфибоморфные и аплитовые структуры. Плагиоклаз-альбит-олигоклаз № 9-14, образующий удлиненные идиоморфные полисинтетически сложниковые кристаллы. Калиевый полевой шпат, встречающийся в зоне резко ксеноморфных зерен, представлен решетчатым микроклином. Характер его выделений, а также резкие колебания его содержания в породе, свидетельствуют о его более позднем метасоматическом происхождении. Кварц почти всегда гранулирован.

Описанные граниты прорывают и магматизируют раннепротерозойские габброиды, в свою очередь, прорываются лайками раннелейных гранодиорит-порфиров.

Третий среднезернистый, биотитовый, гнейсово-зандильский, реже массивный (γ<sub>4</sub>-Рт<sub>1</sub>?) слагают два небольших массива. Один из них расположен у восточной границы района (р. Сутам), другой — на левобережье р. Ниж. Дженида. Площадь каждого массива 12 км<sup>2</sup>. Интрузии в плане имеют округлую форму и прорывают метаморфические и интрузионные образования архейского возраста, с которыми они имеют четкие контакты.

Биотитовые граниты — средне-мелковерхние, иногда крупнозернистые, массивные породы светло-серого цвета. Встречаются также катаклизированные гнейсовые граниты с четко ориентированным расположением лейст биотита и несколько уплощенных обособленных кварца. Породы состоят из плагиоклаза (35%), кварца (25%), микроклина (25-30%), биотита (5-7%) и акессорных (до 2,5%) минералов: сфеен, циркон, апатит, магнетит. Для них характерны гранитовые, реже гипидиоморфнозернистые структуры. Удлиненно-призматические, полисинтетически сплющиванные, иногда неясно зональные кристаллы плагиоклаза по составу отвечают альбиту и кислому олигоклазу. Они часто замещаются микроклином, который образует крупные ксеноморфные зерна с грубою решеткой. Кварц выделяется в виде крупных (1-2 мм) округлых зерен. Листочки интенсивно шлохородрупного биотита идиоморфны. В гнейсовых катаклизированных гранитах широко развиты цементные, лепидогра-

нобластовые структуры. Платиоклазы интенсивно серидитизированы и микроклинизированы, биотит мусковитизирован и хлоритизирован. Характерно наличие многочисленных скоплений кварца линзовидной и прожилковой форм, составляющих иногда до 60% породы.

Возраст гранитов точно не установлен. По геологическому положению, составу и текстурам они хорошо сопоставимы с протерозойскими гранитоидами, встречающимися на территории листа N-52-Ш. Последние прорывают раннепротерозойские мелкозернистые биотитовые гнейсовые граниты и метаморфические породы нижне-протерозойского возраста.

**Диабазы** ( $\text{J}_\text{m}$  Pt<sub>1</sub>) слагают малые тела (мощность до 400 м, протяженность до 1,5-2,0 км), развитые в бассейне р.Бол.

Даурка, где они прорывают архейские метаморфические породы.

Диабазы встречаются также и в пределах Лучинского массива габброидов в виде редких маломощных жил. В силу незначительных размеров эти жилы на геологической карте не показаны.

Диабазы темно-серые мелко- среднезернистые массивные породы, состоящие из моноклинного пироксена (50%), замещающегося актинолитовой или нормальной роговой обманкой (20%), и платиоклаза, представленного андезином-лабрадором № 50-60. Структура ойтова или ольстоорита.

Раннепротерозойский возраст их определяется исходя из того, что они прорывают раннепротерозойские габбро и, в свою очередь, рутиятся дайками гранодиорит-порфиров жильной серии раннепалевого комплекса (бассейн р.Бол.Даурка). У южной границы Альданского шита со Становой складчатой областью дайки диабазов прорываются раннепротерозойскими гнейсовидными гранитами (Дзевановский и др., 1961).

#### РАННЕМЕЛОВЫЕ (?) ИНТРУЗИИ

Раннемеловые (?) интрузии подразделяются на: гранодиориты и граниты биотит-роговообманковые; гранодиориты и граниты мелкозернистые, порфировидные, гранодиорит-порфиры и гранит-порфиры; граниты лейкократовые; гранодиорит-порфиры и гранит-порфиры - дайки и малые тела.

**Гранодиориты и граниты** ( $\text{J}_\text{b}$  Cr<sub>1</sub>? ) слагают Десский (в бассейне р.Десс, площадь 700 км<sup>2</sup>), Бриантинский (в бассейне рек Брианта, Угутай, площадью 700 км<sup>2</sup>) и Центральный (в верховых руч. Зимовзячи, Дамбука-Макит, площадью 120 км<sup>2</sup>) массивы.

По мнению Р.Х.Дзевановского (1959), мезозойские интрузии станововой зоны представляют собой трещинные тела сравнительно небольшой мощности пологопадающие на юг в сторону Монголо-Охотской геосинклинальной области, откуда и происходило их внедрение. Такое залегание подтверждается многочисленными замерами ориентировки плоскостей контактов (бассейн р.Брианта), характеризующихся углами 20-30°. Очень редки кругопадающие контакты. По данным В.А.Лармонова (1953 г.), для мезозойских интрузий Станового хребта наиболее характерны положительные значения магнитного поля (500-1000 гамм), а для метаморфических толщ нижнего протерозоя отрицательные.

Неоднородное магнитное поле с интенсивностью полного века-тога от +200 до +500 гамм (Бриантинский массив) и от +700 до -500 гамм (Десский массив) свидетельствует скорее всего о неизменной мощности массивов, через положительный магнитный фон которых как бы "просвечивает" отрицательное поле вмещающих нижне-протерозойских гнейсов (рис. 1).

Десский и Бриантинский массивы сложены однообразными массивами раннemerозернистыми, иногда порфировидными средне-крупнокристаллическими гранодиоритами и гранитами, связанными постепенными переходами. Порфировидные разности содержат единичные идиоморфные вкрапления кальмевого полевого шпата (размером до 5 см) обычно призматической формы. Во вкраепленниках наблюдается большое количество включений темноцветных минералов, расположенных концентрически - зонально. Породы эндоконтактовой фации представлены мезократовыми существенно амфиболовыми гнейсами гранодиоритами и кварцевыми диоритами с повышенным содержанием сфена. Ширина зоны распространения этих пород обычно не превышает 1-1,5 км.

Минералогический состав и количественные соотношения основных породообразующих минералов гранитоидов приведены в табл. I.

Таблица I

Порода	Минералогический состав, вес. %				
	Платио- клас	Кварц полевый шпат	Калиевый биотит	Роговая обманка сюрные минера- лы	
Гранит (по 4 шлифам)	42,7	23,5	22,2	4,8	4,3
Гранодиорит (по 4 шлифам)	55,4- 37,6	23,9- 18,4	17,8- 13,9	10,0- 5,8	4,9- 3,7

Структура гипидиоморфозернистая с ярко выраженным идиоморфизмом шпатоклаза по отношению к кальевому полевому шпату и кварцу. Реже наблюдаются гранитовые структуры, характерные для более кислых и крупнозернистых разностей. Все кристаллы шпатов класса тонкоизональны, обычно слойникованы. Состав зон изменяется от андезина № 41 в центральных частях до олигоклаза № 25 в периферических. Кварц слагает мелковернистые агрегаты (до 5 мм), реже отдельные ксеноморфные зерна. Калиевый полевой шпат образует неплохо идиоморфные кристаллы, содержащие включения плагиоклаза, роговой обманки, биотита, сфеена. Он представлен как ортодиабазом ( $2V = -52\text{--}65^\circ$ ), так и микроклином ( $2V = -60\text{--}84^\circ$ ). Роговая обманка зеленая, обыкновенная;  $C:Ng = 28^\circ$ ,  $2V = -54\text{--}56^\circ$ , кристаллы ее идиоморфны. Биотит образует текстуроанальные таблитцы, иногда содержит точечные зерна циркона, окруженные шеохромичными линзами. Аксессорные сфен и магнетит, изредка алатит. В кварцевых диоритах эндоконтактовой фации количество темноцветных достигает 25–30% и уменьшается с содержанием кальевого шпата. Гранодиориты в эндоконтактах состоят из идиоморфных зерен тонкозонального шпатоклаза (48–55%), промежутки между которыми заняты кварцем (16–19%) и темноцветными минералами (до 18%), образующими кучные скопления, ориентированые обычно в одном направлении. Плагиоклаз центральных частей зерен соответствует амазезину № 49, внешних – андезину № 34–35. Кварц гранулирован и катаклизирован. Структура идиоморфозернистая с элементами катастических и цементных.

Центральный массив сложен гранитоидами, по составу аналогичными описанным, но в отличие от последних характеризующимся мелковернистыми структурами и гнейсовидными текстурами. В них почти повсеместно проявлен прото- и катаклаз (цементные и грубомилонитовые структуры) и автометасоматоз (албитизация и мицелизация). По-видимому, становление массива мелковернистых гранитоидов произошло в неспокойной тектонической обстановке, обусловившей их текстурные и структурные особенности. Вполне вероятно, что они внедрились в раннюю фазу мезозойского математизма.

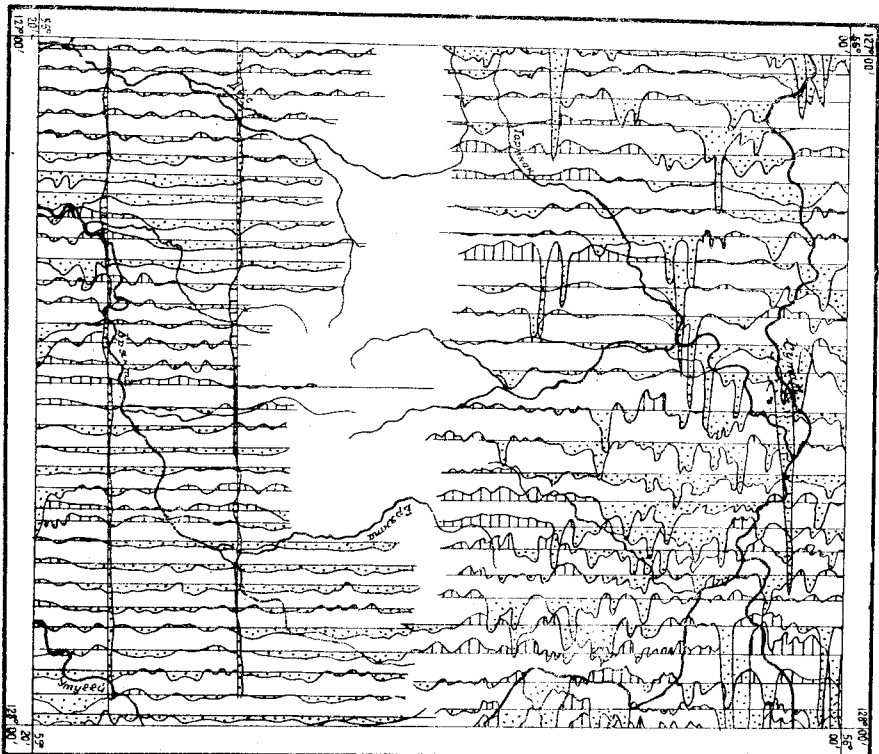


Рис. 1. Карта графиков  $\Delta T$ . Масштаб: в 1 см 2000 га.

Значения  $\Delta T$ : 1 – положительное; 2 – отрицательное

Гранодиориты и граниты мелко-зернистые, порфироидные ( $U_2 Cr_1?$ ) гранодиорит-порфирит и гранит-порфир ( $U_2 Cr_1?$ ) слагают ряд мелких штокобобразных тел, площадью до 2–2,5 км<sup>2</sup> и несколько более крупных массивов (от 12 км<sup>2</sup> до 20–24 км<sup>2</sup>), расположенных в пределах интрузий

гранитоидов первой фазы. Более крупные тела имеют в плане вытянутую овальную форму, что, по-видимому, объясняется их приуроченностью к зонам разломов.

Все мелкие штоки сложены гранодиоритами и гранитами, полностью переходящими в гранит-порфир и гранодиорит-порфир. Гранитоиды представляют собой в основном мелко-реке, среднекристаллические порфировидные светло-серые и розовато-серые породы. Для среднезернистых разностей характерна пянистая, неясно порфирированная текстура, обусловленная наличием большого количества (до 30% объема породы) вкрашенников плагиоклаза размером от 1-2 до 10 мм, лишенных четких кристаллографических очертаний. Пинокристаллические и порфировые породы тождественны по составу и характеризуются следующими содержаниями породообразующих минералов: (в вес. %) плагиоклаз - 39,2-44,9; калиевый полевой шпат - 19,1-24,5; кварц - 28,8-29,4; биотит - 2,9-8,0; роговик обманка - 0,3-2,3; акцессории - 1,8-3,1.

В поинокристаллических среднезернистых гранитоидах преобладают гранитовые структуры, реже наблюдаются глиниоморфозернистые (при резко выраженном идиоморфизме плагиоклаза). В мелковзернистых разностях структуры основной массы аллитоморфозернистые, в гранит- и гранодиорит-порфирах, микроаллитоморфозернистые. Плагиоклаз - зональный андезин № 30-35. Зерна калиевого полевого шпата ксеноморфны, включают мельчайшие идиоморфные кристаллы птигоклаза и очень редко темноцветных и акцессорных минералов. Зерна кварца обычно ксеноморфны, идиоморфны лишь фенокристаллы. Гранит- и лейкократовые (γ<sub>3</sub> Cr<sub>1</sub>?). Небольшие штоки (площадь до 2 км<sup>2</sup>) и маломощные жилы (до 10-20 см) мелкозернистых лейкократовых гранитов встречаются только в пределах массивов гранитоидов первой фазы раннемеловых интрузий. Контакты жил лейкократовых гранитов с гранодиоритами рутилье. Наиболее типичны светло-серые и розовато-серые массивные граниты. Для них характерно наличие редких более крупнозернистых обособлений (до 1-2 см), состоящих из розового калиевого полевого шпата и кварца, и пятнистая окраска, обусловленная наличием рыхлых псеудокристаллических вкраплений вокруг зерен орита. Состав гранитов: плагиоклаз-олигоклаз от № 22-24 до 16-17 (23-27%), калиевый полевой шпат - 2V = -54-64° (32-39%), кварц (36-37%), биотит - до 3%, акцессорные - магнетит, сфен, орбит - 0,5%. Структура пород аллитовая, гранитовая, глиниоморфозернистая с участками трахитической и мираклитовой.

Гранодиорит-порфир и гранит - порфиры (данный малое тело) (γ<sub>3</sub> Cr<sub>1</sub>? ) слагают

дайки и значительно реже, более крупные тела штокообразной (Бонч-чокский - 4 км<sup>2</sup>) и лакколитообразной (два массива в междуручье Тарынана и Джелиндакана - 16 и 20 км<sup>2</sup>) формы. Четко выделяются два дайковых пояса. Один из них простирается от верховьев р. Олонто в верхнее течение р.Бринты, где простирация даек меняется с северо-восточного на широтное, что, видимо, обусловлено близостью зоны Станового разлома. Ширина этого пояса от 4 до 8 км, протяженность - 50-60 км. Другой пояс, простирающийся от верховьев р.Десс в долину верхнего течения р.Андреевский Ключ, также тяготеет к зоне Станового разлома; простирание даек совпадает с северо-восточным направлением оперядки Становой разлом трещин. Протяженность пояса 30 км, ширина 5-10 км. Дайковые тела, расположенные вне пределов описанных поясов, имеют преобладающее северо-восточное, реже субширотное простирание. Средняя протяженность даек несколько сотен метров, отдельных до 4-5 км. Мощность их в среднем составляет 40-50 м, наиболее протяженных до 100 м. Залегание даек обычно крутое, близкое к вертикальному, реже настывает пологопадающие дайковые тела. Состав даек колеблется от гранит-порфиров до гранодиорит-порфиров при преодолении последних.

Бончоский массив сложен плагиогранит-порфиром; массивы, расположенные в пределах Сутамской депрессии - гранодиорит-порфиром.

Гранит-порфир - лейкократовые породы с крупными (0,3-1,0 см) изометрическими вкрашенниками кварца и мелкими (0,1-0,3 см) плагиоклаза (альбит № 5-8 - олигоклаз № II-14) и калиевого полевого шпата. Количество вкрашенников варьирует от 15 до 50%. Кварц-полевошпатовая основная масса породы имеет микролитоморфозернистую и микротранзитовую, очень редко псевдосферолитовую структуру.

Плагиогранит-порфир отличаются несколько меньшей степенью раскристаллизации основной массы, а также преобладанием в составе вкрашенников плагиоклаза (альбит № 5-10) при незначительном содержании кварца и отсутствии калиевого полевого шпата.

Гранодиорит-порфир, слагающие дайки, светлые, розовато-серые породы, содержащие иногда до 70% вкрашенников полевых шпатов двух генераций. Первая представлена единичными (до 2 см) крупными идиоморфными кристаллами калиевого полевого шпата, вторая - зернами плагиоклаза, лишенными четких кристаллографических очертаний (размером 1-5 мм). Структура пород порфировая с микролитоморфозернистой структурой основной массы кварц-полево-

шпатового состава. Тонкозональный плагиоклаз представлен андезитом № 33-37, реже олигоклазом № 27. Калиевый полевой шпат и кварц наблюдаются в виде отдельных ксеноморфных зерен. Роговая обманка — зеленая, обыкновенная, образует или орнитиновые кристаллы, С: № = 21-23°. Редкие лейсты бурого биотита замещены обычно хлоритом. Гранодиорит-порфиры, слагающие массивы, характеризуются меньшей степенью раскристаллизации основной массы пород. Для них характерны криптокристаллические и микротектонитовые структуры.

Раннемеловые (?) интрузии первой фазы, выделяемые на территории листа № 52-II, имеют широкое площадное развитие в зоне Становика-Джутчура. Однако их возраст точно не определен. В.Н.Мошкин и Ю.А.Альбов (1959) считают гранитоиды донижнемеловыми на основании налегания нижнемеловых конгломератов с флюоритом на их развитой поверхности (в верхнем течении р.Улы). А.Т.Кад (1962 г.) датирует возраст гранитоидов как раннемеловой, так как на смежной с запада территории (лист № 52-I) в гранитоидах были найдены ксенолиты порфиритов вулканогенной толщи нижнего мела. На территории листа № 52-II взаимоотношения между интрузивными и осадочно-вулканогенными породами нижнего мела не наблюдалась. Поскольку данные о возрасте гранитоидов первой фазы являются противоречивыми, возраст их определяется как раннемеловой условно. Бесспорность мезозойского возраста этих интрузий подтверждается определениями абсолютного возраста калий-аргоновым методом, давшими цифры — 145, 110-120, 88 млн. лет (Девяновский, 1959; Мошкин, 1961). Возраст гранитоидов второй и третий фаз определяется как раннемеловой на основании прорывания ими гранитоидов первой фазы. Малые тела и пайки гранодиорит-порфиров и гранит-порфиров прорывают отложения нижнего мела. Однако верхняя возрастная граница этих интрузий в регионе не установлена, поэтому возраст их определяется как раннемеловой условно.

## ТЕКОНИКА

Территория листа № 52-II расположена в зоне сопряжения архейских структур Алданского щита с раннепротерозойскими структурами Становой складчатой области. Сложноиспортиенные метаморфические толщи архея и нижнего протерозоя совместно образуют кристаллическое основание, подвергшееся в мезозое глибовым деформациям. На размытой поверхности кристаллического основания полу-

то залегает платформенный чехол, представленный континентальными образованиями юры и нижнего мела (рис.2).

### СТРУКТУРЫ КРИСТАЛЛИЧЕСКОГО ОСНОВАНИЯ

**Алданский щит.** Начало формирования архейских структур связано с этапом, во время которого происходило накопление мощных осадочно-вулканогенных образований. Если для начальной архейского этапа (иентрской серии) характерно накопление территориальных отложений, то в более позднее время происходит излияние андезитов, впоследствии превращенных в толщу широксенональных кристаллических сланцев (Девяновский, Лагзина и др., 1961). Складчатость архейских толщ сопровождалась внедрением синорогенных альбититовых гранитов, образовавших конкордантные массивы. С завершением маттанизма наступает этап консолидации архейских структур, которые характеризуются преобладающими северо-западными простираниями широких, простых, местами скатых и осложненных складок. Среди архейских складчатых структур выделяются Нижне-Джединская, Джединчиканская, Усмунская и Центральная антиклинали и Китинская синклиналь.

Ось Нижне-Джединской антиклинали проходит по правому водоразделу р.Петровский Ключ и по левобережью р.Ниж.Джельда. Ядро складки сложено породами нижней подсвиты верхнеалданской свиты, северо-восточное крыло, осложненное разломом — породами верхней подсвиты верхнеалданской свиты, юго-западное срезано разломом. Протяженность складки 18-20 км, размах крыльев 10-12 км. К северо-западу происходит погружение шарнира этой складки, что устанавливается по исчезновению в этом направлении кварцитов, залегающих в ее ядре. Строение складки простое. Углы падения на крыльях не превышают 70°.

Джединчиканская антиклиналь проектируется в северо-западном направлении на продолжении Нижне-Джединской. Ее ось проходит по правому водоразделу р.Джединчикан и по водоразделу Сутам-Тулгыкан. В бассейне рек Джединчикан и Тарынак ядро складки сложено породами улучинской свиты. К северо-западу шарнир складки погружается и породы этой свиты перекрываются породами нижнесунгалинской свиты. На периклинальном замыкании складки (правый водораздел р.Джединчикан) отмечаются субширотные простирания тектонов с падением на север под углом 70°. К северу шарнир складки планико залегает, так как на смежных с севера складках (лист 0-52-XXXII) на продолжении структуры отмечаются породы иентрской

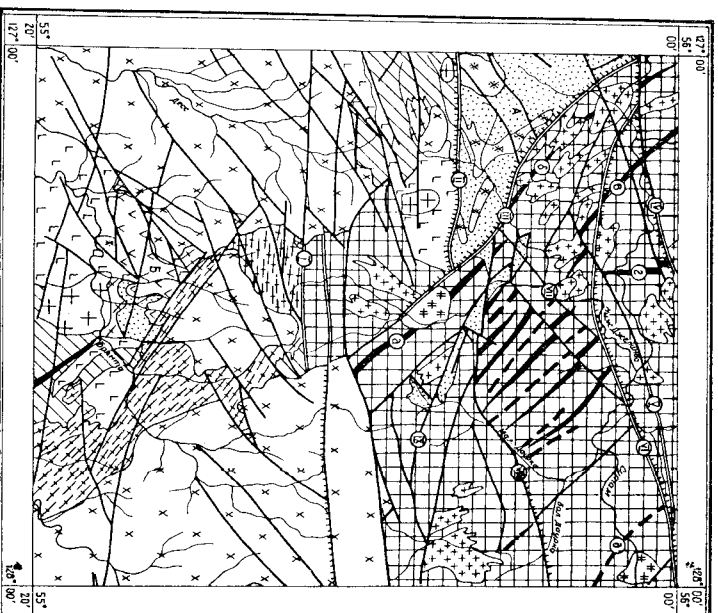


Рис. 2. Геологическая схема

Структуры кристаллического основания: А - лацкий щит;

1 - область распространения сложнодиоморфированных архейских кристаллических

сростками; 2 - ранногорные массивы амфиболовых гранитов;

3 - трещинные тела раннепротерозойских гранитоидов. Станичная

складчатая область: 4 - область распространения магмати-

ческих гнейсов; 5 - раннегорные массивы раннепротерозойских гнейсовых гра-

нитов, сопровождавшие появления минимализации; 6 - позднепротерозойские

и раннепротерозойские гранитоидов.

Основные структуры и их элементы: 12 - оси антиклинальных структур и

направление их погружения; 13 - оси склонильных структур и направление

их заложения; 14 - разрывные нарушения с длительной историей формирования

и указанием интенсивности смещения; 15 - разрывные нарушения с длительной

историей формирования; 16 - разломы прочие.

Структуры: а - т. и. к. и. н. а. л. и. (обозначены буквами в кружках):

а - Нижне-Джилиндинская, б - Джилиндинская, в - Уманская, г - Централь-

ная; с и к л и н и я : д - Южноканская, е - Западная (обозначены

цифрами в кружках): I - Южно-Стаховская, II - Северо-Стаховская, III - Джилин-

динско-Петрогорская, IV - Тас-Юрхская, V - Кобзяканская I, VI - Кобзяканская II,

VI - Нижне-Джилиндинский, VII - Южноканский, VIII - Мало-Даурский, IX - Делец-

ский: А - Сутанская, Б - Верхнеборянтинская

серий. Протяженность Джилиндинской антиклинали в пределах спло-  
щаемой территории 26-27 км., размах крыльев 6-8 км. Это линей-  
ная, симметричная структура с крутыми углами падения крыльев -  
50-80°. Ее юго-западное крыло обломлено Джилиндинско-Петров-  
ским разломом. Северо-восточное крыло на южном фланге сложено  
породами нижнесунгатинской свиты, а севернее структура без види-  
мого синклинального перегиба (в этом месте развиты граниты) пере-  
ходит к запрокинутой Усмунской антиклинали. Ядро последней на-  
блюдаются о погружении парнира антиклинали в этом направлении. Ядро  
Усмунской антиклинали на водоразделе рек Сутам-Чир-Джилинда сло-  
жено породами улунчинской, а крылья породами нижнесунгатинской  
свит. Протяженность Усмунской структуры в пределах территории  
листа - 24 км., размах крыльев 8-10 км. Морфология складки слож-  
ная. Северная ее часть до линии субширотного Тас-Юрхского раз-  
лома, проходящего южнее долины р. Сутам, запрокинута на северо-  
восток под углами 65-70°. К юго-востоку за разломом складка ха-  
рактеризуется симметричным строением с крутыми углами падения  
крыльев - 70-85°. На юго-востоке она срезается Нижне-Джилинин-  
ским разломом, проходящим по правобережью р. Ниж. Джилинда.

Центральная антиклиналь, в ядре которой вскрываются поро-  
ды улунчинской свиты, имеет меридиональное простирание. Ее пар-  
аллир погружается на юг (правый водораздел р. Тас-Юрх). Крылья  
антклинали сложены породами нижнесунгатинской свиты. В районе  
нижнего течения р. Тас-Юрх и к. Мишка намечается замыкание скла-  
дки, которая имеет в плане подковообразную форму и асимметричное  
строение: круглое (70°) западное крыло и пологое (10-30°) восточ-  
ное. На погружении складки в гнейсах улунчинской и нижнесунгатин-  
ской смыкается фиксируется стабилитонные простирияния и падения на юг с  
углами 60-50°. Строение Центральной антиклинали сложное. На се-  
вере до линии субширотного Тас-Юрхского разлома западное крыло  
складки запрокинуто, что отвечает аналогичному строению северно-  
го крыла Усмунской антиклинали. Далее разлома складка имеет сим-  
метричное строение с падением крыльев 50-60°.

Складки в бассейне рек Мал. и Больш. Даурок построены более  
сложно. На водоразделах Ниж. Джилинды - Мал. Даурки, Больш. Даурка  
складки архейские метаморфические породы собраны в систему  
западного простирияния. Углы падения крыльев в антиклиналях до-  
стигают 60-70° и выполняются до 40° в синклиналях. Размах

крыльев синклиналей вымырает в пределах от 800 до 2000 м. Шарниры антиклинальных складок испытывают погружение на юго-восток. Изредка встречаются сундучные складки с крутыми падениями крыльев (до 80°) и сравнительно пологими (от 25-30° до горизонтальных) залеганиями пород в ядре (антиклиналь в 4 км к северо-востоку от высоты 1672,0 м). К юго-востоку, по простиранию, симметричные складки междууречья Ниж.Джелиды-Мал.Дауки резко переходят в запрокинутую на юго-восток структуру (водораздел рек Мал.-Даука - Бол.-Даука). Этот переход проходит по линии северо-восточного Юктынского разлома, совпадающего с направлением долины р. Мал.Даука. Здесь преобладают северо-западные, реже субширотные, простирации, падения на северо-восток и север-северо-восток под углами 50-70°.

К северо-востоку зона сложной складчатости (право- и левобережье р.Бол.Дауки) сменяется простой синклинальной Юктынской структурой, ядро которой сложено породами корианской свиты (водоразделы Сутам-Бол.Даука, Сутам-Кабакта). В плане Юктынская синклиналь имеет овальную форму и северо-западное простирание. Крылья складки сложены породами верхнесунгатинской свиты. Субширотные простирации северо-восточного крыла ограничиваются широтным Кабактинским - вторым разломом, совпадающим с долиной р.Кабакта, от северо-западных простираций структур, выделенных В.В.Архангельской (1959) на территории листа 0-52-ХХII. Протяженность Юктынской синклинали, включая ее часть, попадающую на территорию листа №52-II, - 20-25 км, размах крыльев 10-15 км.

Морфология Юктынской синклинали, включая ее часть, попадающую на западном крыле, до 50-60° на центрально-западном замыкании и юго-восточном крыле.

Из дисьюнктивов, осложняющих архейские складки, преобладающее развитие получили разрывы, ориентированные под углом к простиранию складок. Согласные нарушения менее характерны. Из согласных северо-западных разрывов выделяется Даслиндакано-Петровский разлом. Из разрывов секущих складчатые структуры наиболее крупными являются: Тас-Юряхский, Кабактанский - первый и Кабактанский - второй, Нижне-Джелиндийский, Юктынский и Мало-Даур - складки разломы. Все эти нарушения, также как и определяющие их параллельные трещины, хорошо дифференцируются на аэрофотоснимках, четко устанавливаются на местности и часто сопровождаются маломощными (300-500 м) зонами катаклаза и мylonитизации. Секущие нарушения возникли, скорее всего, как крупные сколы в напряженной зоне перехода симметричных пликативных структур к запрокину-

тым и квалифицируются как забросо-складки с незначительной вертикальной амплитудой перемещения и крутыми падениями плоскости смещителя. Движения по согласным разрывам или близким к ним (Даслиндакано-Петровский, Мало-Даурский разломы) характеризуются более значительными вертикальными перемещениями (1000-1500 м), принесшими к образованию горста, сложенного породами иенгрской серии.

Страновская складчатая область. К началу нижнего протерозоя юго-восточная окраина Алданского щита образуется тектоническая область Становика-Джулаура. Складчатые движения, охватившие эту область в нижнем протерозое, были сложными и проходили, вероятно, в несколько фаз, о чем свидетельствуют многофазные проявления метаморфизма. Ранние этапы развития нижнепротерозойской геосинклинали сопровождались молодыми расколами и внедрением пластовых и секущих интрузий основного ряда, впоследствии превращенных в метагаббро и амфиболиты. Развитие складчатости протекало одновременно с метаморфализацией осадочных толщ в условиях амфиболитовой фации. Интенсивные складчатые движения сопровождались интрузией синорогенных массивов гранитов, минимизирующих вмещающие их породы. В пределах Алданского щита раннепротерозойский тектоногенез проявился серией разрывов, параллельных стыку архейских и нижнепротерозойских структур, а также дискордантными интрузиями гранитоидов.

Нижнепротерозойские складчатые структуры в пределах территории листа расщепляются с трудом. Это объясняется неизвестными площалями выходов метаморфических пород нижнего протерозоя, слабой обнаженностью и разобщенностью их интрузиями.

На юге, в бассейне р.Брэнты, располагается антиклинальная складка, ядро которой сложено пластовым телом амфиболитов и прорвано нижнепротерозойскими гранитами. Ось этой складки противостоят в северо-западном направлении от р.Уутай, через устье р.Половинка (левый приток р.Брэнты) и руч. Иниачи (правый приток р.Брэнты). В этом же направлении протягивается ловольно широкая полоса (3-4 км) диафторитов и диафторитированных пород, связанных, скорее всего, с зоной интенсивной трещиноватости, приуроченной к ядру антиклинали. Юго-западное крыло складки сложено гнейсами гудинской (?) свиты и пластовым телом амфиболитов. На правобережье р.Брэнты намечается периклинальное замыкание антиклинали, северо-восточное крыло которой маскируется нижнепротерозойскими гранитоидами. Простирания пород юго-западного крыла северо-западные, к северу переходящие в субмеридиональные. Углы падения от 70-60° до 40-45° (на замыкании структуры). Ядро и юго-запад-

ное крыло складки осложнено дополнительной мелкой складчатостью.

К тектоническим разрывам раннепротерозойского заложения относится система широтных нарушений, получившая в литературе название Станового глубинного разлома (Глуховский, 1962). Становой разлом является границей раздела структур Алданского щита и раннепротерозойской Становой складчатой области и сопровождается широкой полосой диафторитов, протягивающихся от устья р. Нижней (лист 0-51-ХХХ) на западе, далее на восток через бассейн Алана, Шенры, Тимгтона в бассейн верхнего течения р. Сутам.

Непосредственно на территории листа № 52-П установлено две основные системы Станового разлома: Южно-Становой, Северо-Становой. Разлом первой системы имеет широтное простирание и проходит через верховья рек Утгай-Макит, Брянты, Лесса. Сам разлом и опериющие его параллельные длиниективи хорошо дешифрируются и выражены в рельфе уступами (верховья рек Утгай-Макит и Брянты). Параллельно основной линии Южно-Станового разлома в 16 км к северу в широтном направлении протягивается Северо-Становой разлом, являющийся южной границей Сугамской депрессии.

Время зарождения разломов обеих систем следует связывать с первым заложением нижнепротерозойской геосинклинили. В последующее время разломы и опериющие их трещины служили путями для проникновения гидротермальных растворов, что выразилось в появлении мощной зоны диафторитов и диафторированных пород. Простирация в зоне диафторитов имеет субширотные направления, параллельные Южно-Становому и Северо-Становому разломам. Вероятнее всего, дислокации в этой зоне связаны с интенсивными движением по обеим системам разломов, приведшим к раздроблению и развалыванию пород, которые были впоследствии регрессивно метаморфизованы. Южно-Становой и Северо-Становой разломы представляют собой взбросы с падением плоскости сместителя на юг, под углами порядка 70-85°.

На юге района наибольший интерес представляет зона трещиноватости и связанного с ней диафтореза, проходящая по яну анатомической складки, расположенному на водоразделе Брянты-Утугай. К юго-востоку за пределами описываемого района эта зона прослежена на протяжении 90 км и пересекает бассейны Мульмута, Мульмутана, уходя на устье р. Сутджар (правый приток р. Зеи). К северо-западу она маскируется мезозойскими гранитоидами. Вдоль зоны трещиноватости отмечается интенсивное смятие метаморфических пород, сложная их дислокация, запрокинутые залегания, участки рассланцевания, диафтореза и проявлений кремниевого метасоматоза (гидротермально-метасоматические вторичные кварциты). Вероятно,

описываемая зона является отголоском мощного разлома, зародившегося на ранних этапах развития нижнепротерозойской геосинклиниали. т.к. она контролируется габбро и габбро-андезолитами ранних этапов развития раннепротерозойской Становой складчатой области. Складчатое развитие Становой области завершилось в конце нижнего протерозоя консолидацией страны, нараставшей Алданский щит с юга. С этого времени начинается платформенный этап развития Алданского щита и Становой складчатой зоны. Геологическая история развития района в синии и палеозое не документируется вследствие отсутствия в его пределах образований этого возраста.

#### ПЛАТФОРМЕННЫЙ ЧЕХОЛ И СТРУКТУРЫ ЭТАПА ГЛЫБОВЫХ ДЕФОРМАЦИЙ КРИСТАЛЛИЧЕСКОГО ОСНОВАНИЯ

По представлениям И.К.Дзевановского и др. (1961), на месте древнего предгорного прогиба в предгорское время образовалась депрессия, впоследствии заполненная юрскими осадками. В начале мелового времени ранее устойчивое положение Станового хребта испытывает блоковые перемещения по зонам древних разломов, и в локальных депрессиях происходит накопление нижнемеловых осадочно-вулканогенных образований. Подвижность Становой складчатой зоны в мезозойское время обусловлена развитием Монголо-Охотской геосинклинили. Все геотектонические процессы, проходившие в ее пределах, находили свое отражение в Становой зоне и южной окраине Алданского щита в виде разломов, глыбовых перемещений (тектонические депрессии с сохранившимися осадками юры и мела) и внедрения трещинных мезозойских интрузий.

Юрские осадочные породы, развитые в среднем течении р. Нижней Джелинды, большей частью ограничены разломами от более древних образований. При преобладающих сравнительно пологих залеганиях (20-30°) на участках, близких к разломам, наблюдаются крутые углы (70-90°) падения пород и мелкие, часто остроугольные складки, сопровождающиеся разрывами (левый борт долины р. Ниж. Джелинды, против быка Викторовского).

Нижнемеловые образования залегают в грабенообразных Сутамской и Верхнериентинской депрессиях. Первая имеет в плане форму треугольника, ограничена крутоупадающими на юг Джелиндакано-Петровским (с севера) и Северо-Становым (с юга) разломами. Ее площадь в пределах листа равна 120 км<sup>2</sup>. Нижнемеловые породы внутри Сутамской депрессии залегают спокойно, образуя волнистые пологие

лигативные структуры, вписывавшиеся в контуры депрессии (углы падения 10-30°). Некоторое усложнение складок отмечается вблизи зон разломов. В этом случае часто наблюдаются крутое углы падения до 70° и демаркируются узкие, линейно вытянутые вдоль разломов складки (водораздел кп. Бол. Безымянного и р. Джаллиндакан). Верхнебрентинская депрессия (правобережье р. Бренты) ограничена системой северо-восточных, северо-западных и субширотных разломов и имеет площадь 60 км<sup>2</sup>, из которых 45 км<sup>2</sup> занято горизонтально залегающими эфузивами. Туфогенно-осадочная толща, подстилающая эфузивы, залегает также полого (10-20°).

Разрывные структуры мезозойского тектогенеза подразделяются на две категории: обновленные по унаследованным структурам более раннего заложения и собственно мезозойские.

Основание Древних разрывов подтверждается их взаимоотношением с мезозойскими гранитоидами, которые они секут и смещают (система Южно-Станового разлома), а также ограничением мезозойских депрессий системами Древних разломов (Сутамская депрессия ограничена Северо-Становым и Джелиндакано-Петровским разломами), и, наконец, древние разломы служили путями для внедрения мезозойских гипабиссальных интрузий и даек. Примером этому служат даековые поля вдоль Южно-Станового и Северо-Станового разломов. Собственно мезозойские разрывы имеют северо-восточное направление и преоблачают на юге, где преимущественно развиты мезозойские гранитоиды. Северо-восточные расколы служили путями внедрения раннемеловых даек. В местах сопряжения северо-восточных трещин с древними нарушениями происходило излияние нижнемеловых эфузивов (правобережье р.Брانتы) и интенсивные проявления гипотектомильных процессов, с которыми связывается возрастание

Проявлены (верховы рек Петровская Ключ и Андреевский Ключ). Северо-восточные трещины, служившие путями внедрения даек, дешифрируются как вертикальные (или близкие к ним) глубокие расколы.

В конце мая — начале июня происходит общее вздымание Становой складчатой области и прилегающих территорий. Наступает континентальный этап развития, характеризующийся тектоническими движениями кайнозойского времени по плоскостям древних разломов. Это привело к оживлению эрозионной деятельности, интенсивному размыву древних пород, накоплению делювиальных образований в депрессиях, способствовало перестройке гидросети и формированию крупных форм современного рельефа.

Достаточно убедительной иллюстрацией, подтверждающей тектонические построения на территории листа №51-П, является карта

ГЕОМОРФОЛОГИЯ

графиков АТ (см. рис. I).

Магнитное поле площи развития архейских структур характеризуется повышенным положительным фоном с колебаниями полного вектора от 0 до +9000 гамм. Наибольшие значения связаны с проявлениями магнетитовых руд по право- и левобережью р. Сутам. Половильные значения полного вектора от +1000 до +7000 гамм, связанные с пироксенами гнейсами верхнесунгатинской и нижнесунгатинской свит, образуют хорошо выраженные пики, ориентированные в северо-западном направлении, т.е. по простиранию архейских толп. Часть территории, сложенной диафторигами и диафторированными породами, характеризуется низкой интенсивностью полного вектора до -600 гамм. Для области развития раннепротерозойских метаморических пород и прорывавших их раннемеловых интрузий тип-

лично в отличие от архейских структур ровное поле с интенсивностью от -600 до +2500 гами. Максимальные значения полного вектора лягут к площадям массивов амфиболитов и габро-амфиболитов (Бассейн р.Брянки, г.Луча и верховье р.Тарнаг). Характер распределения магнитного поля над раннемеловыми интрузиями рассмотрен в главе "Интрузивные породы". На общем низком фоне залечий полного вектора типичном для нижнемеловых пород Сутамской депрессии (-200-600 гами), проявляется более высокая интенсивность (до +2000 гами), связанная с интрузиями нижнемеловых граниторогирит-порфиров. Довольно четко фиксируется Джелендакано-Петровский разлом, являющийся северо-восточной границей Сутамской депрессии.

В пределах района выделяются две геоморфологические области: первая располагается к северу от оси Станового хребта, вторая охватывает южные предгорья Станового хребта (рис.3). Первая

область представляет собой поверхность, приподнятую в среднем на 200 м над уровнем южных предгорий и характеризующуюся интенсивным эрозионным расщеплением. В южных предгорьях преобладает умеренно-расщепленный мягкий рельеф. Главной хребет морфологически не выражен и по сути дела представляет собой пологими-стый водораздел бассейнов рек Бранты и Сутама. Он резко асимметричен: с северным пологим склоном, плавно переходящим к поверхности северных предгорий, и крутым южным склоном (рис.3). В пределах области северных предгорий выделяются: денудационный рельеф поверхности выравнивания; эрозионный среднегорный

128° 32' 00''  
52° 32' 00''

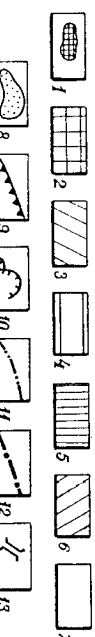
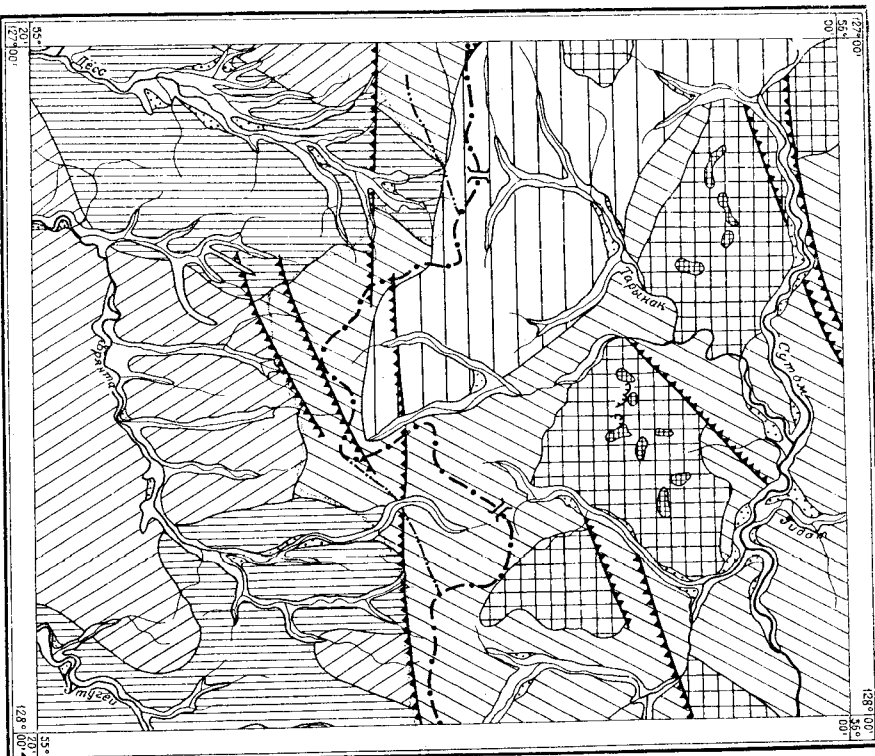


Рис. 3. Геоморфологическая схема

А. Рельеф северной предгорий Саянового хребта: 1 - денудационный рельеф поверхности выравнивания; 2 - эрозионный, среднегорный, глубоко и резко расчлененный горный рельеф участков интенсивных поднятий; 3 - денудационно-эрэзионный, среднегорный умеренно ровоступенчатый рельеф участков умеренных поднятий; 4 - эрозионно-денудационный среднегорный слабо расчлененный пологосклонный рельеф участков депрессии. Б. Рельеф антиклинорий Саянового хребта: 5 - эрозионно-денудационный низкогорный, слаборасчлененный пологосклонный рельеф; 6 - денудационно-эрэзионный низкогорный умеренно расчлененный пологосклонный рельеф. В. Аккумулятивный рельеф: 7 - пойма и высокая пойма; 8 - первая и вторая надпойменные террасы. Г. Породы обозначения: 9 - уступы рельефа, приуроченные к тектоническим нарушениям; 10 - кары; 11 - линии предполагаемого древнего водораздела Саянового хребта на участках переворота гидросети; 12 - линии современного главного водораздела Саянового хребта; 13 - брошенные участки речных долин, связанных с молодыми перекатами

глубоко и резко расчлененный; денудационно-эрэзионный, среднегорный умеренно расчлененный и эрозионно-денудационный, среднегорный, слабо расчлененный пологосклонный тип рельефа.

Эрозионный среднегорный глубоко и резко расчлененный рельеф приурочен к участкам интенсивных новейших поднятий и разбит на метаорифических и интрузивных породах архея на югошади между реками Ниж.Джелинда, Бол. и Мал.Даурок и по правобережью р.Сутам. Максимальные абсолютные отметки 1300-1672 м. Глубина вреза 300-600 м. Средняя крутизна склонов 10-15°, максимальная 25-30°. Поверхность водоразделов в пределах наиболее резко расчлененных участков (водоразделя Ниж.Джелинды - Мал.Даурии, Ниж.Джелинды-Сутам) узкие, уплощенные, иногда гребневидные с рельефами древних денудационных поверхностей выравнивания, расположенных на абсолютных высотах 1300-1500 м.

Денудационно-эрэзионный, среднегорный умеренно расчлененный рельеф тяготеет к участкам умеренных поднятий (бассейны среднего и нижнего течений рек Ниж.Джелинда, Тарынак, Бол. и Мал. Даурии) и характеризуется округлыми водоразделами, шанко переходящими в прямые склоны с максимальной крутизной 10-15°. Этот рельеф обязан своим происхождением преимущественно эрозионным процессам при незначительном проявлении денудации. В пределах описанных типов рельефа преобладают скальные останцы, уступы и резкие перегибы, приуроченные к тектоническим трещинам, останцовые гребни на отпралированных выхолах кварцитов и даек, а также солифлюкционно-делавильные шлейры. Долины характеризуются развитием поймы (до 3 м), первой (до 3-6 м) и второй (6-12 м) надпойменных террас. Следы карового оледенения отмечаются в вершинах притоков р.Ниж.Джелинды на высотах 1500-1600 м. Ка-ри хорошей сохранности и являются, видимо, следами последнего верхнечетвертичного оледенения.

Эрозионно-денудационный среднегорный слаборасчлененный пологосклонный рельеф развит в пределах Сутамской депрессии и относительно стабильного участка сложенного диафторитами. Он занимает площадь бассейнов рек Джелиндалана, Тарынак, Андреевский Ключ и Петровский Ключ. Абсолютные отметки 900-1100 м. Глубина вреза 200-250 м, средняя крутизна склонов 5-6°. Рельеф отличается мягкими формами, округлыми водоразделами и плавными перегибами склонов. На фоне этого рельефа четко выделяются формы, приуроченные к отпределориованным лайкам и малым телам гранодиорит-порфиров. В последнем случае рельеф характеризуется резким расчленением, крутыми склонами и узкими гребневидными в одоразделами (верховья р.Джелиндакан). Речные долины прижатые с широкими

плоскими линиями и причудливо меандрирующими руслами (р. Тарынак). Широко развита высокая пойма (до 3 м) и первая надпойменная терраса (3–6 м). В формировании современной структуры этого рельефа основную роль сыграли процессы денудации, в значительной степени переработавшие более ранние эрозионные формы.

В области южных предгорий Станового хребта выделяются эрозионно-денудационные низкогорный слабо расчлененный пологоконтурный и денудационно-эрэзионный низкогорный, ужеенно расчлененный пологосклонный типы рельефа.

Первый развит в пределах бассейна р. Десс и верховьев р. Брянты на плосади, сложенной метаморфическими и интрузивными породами протерозоя и гранитоидами мезозоя. Максимальные абсолютные высоты 600–800 м. Глубина зреза до 150 м. Этот рельеф характеризуется плохо выраженными водоразделами, незаметно переходящими в пологие (5–9°) склоны долин.

Денудационно-эрэзионный низкогорный умеренно расчлененный пологосклонный рельеф занимает большую часть плосады бассейна р. Брянты и развит на метаморфических и интрузивных породах нижнего протерозоя и на мезозойских гранитоидах. Абсолютные высоты здесь варьируют в пределах от 800 до 1070 м. Рельеф характеризуется мягкими формами, широкими уплощенными водоразделами и пологими склонами (9–10°). Глубина зреза 250–300 м.

Из форм рельефа в пределах территории южных предгорий Станового хребта преобладают останцы и солифлюкционно-дельвильские шлейфы у подножий склонов. Речные долины имеют пологосклонный, либо ящиковидный поперечный профиль. Долины в основном дряхлые, хорошо разработанные, широкие, террасированные. В бассейнах рек Десса и Брянты комплекс низких и высоких террас представлен наиболее полно. Здесь повсеместно отмечается пойма высотой до 3 м, первая надпойменная терраса (4–6 м), вторая надпойменная терраса (10–12 м). Третья надпойменная терраса (18–25 м) встречается обрывками в верховьях р. Десс и на субширотном участке долины р. Брянты. Терраса повсеместно цокольная с очень редкими сохранившимися остатками аллювия в виде хорошо окатанной гальки. В основном аллювий смыт.

На фоне низкогорного и умеренно расчлененного пологосклонного и мягкого рельефа южных предгорий Станового хребта резко выступают более расчлененные формы его южных склонов, которые по своей характеристике отвечают эрозионному среднегорному умеренно расчлененному рельефу северных предгорий. Максимальные абсолютные высоты здесь достигают 1000–1400 м, глубина зреза 300–500 м. Южный склон Станового хребта характеризуется значи-

тельной крутизной (до 20–25°) и глубокими V – образными речными долинами. В верховьях отмечается интенсивный зрез речных долин в южные склоны Становика, в пределах которого имеются четкие признаки перестройки гидросети, происходившей, видимо, в Верхнечетвертичное время. Так, верховья левого притока р. Налды-Тарынак (система р. Сутам), берущего начало на северном склоне Становика, в прошлом включали в себя субширотный участок верхнего течения р. Десс (система р. Брянты). Реки Мал.Брянта и верховья рек Бол.Даурки и Петровский Ключ (система р. Сутам). Водораздел проходил тогда соответственно несколько ниже. Его перемещение к северу вероятнее всего связано с тектоническими движениями по Южно-Становому разлому, способствовавшим интенсивному зрезу верховьев рек системы р. Брянты и перехвату ими верховьев рек Сутамского бассейна. Брошенный участок древней долины Брянта – Мал.Даурка установлен на Становом водоразделе между истоками р. Гидат-Макит и Мал.Брянты в виде четко выраженного руслового углубления и поймы, заросшей травой и кустарником.

Накопление золстоносных россыпей, широко развитых в районе Кайновое. Об этом свидетельствуют такие факты, как широкое развитие в районе гипабиссальных мезозойских интрузий, наличие остальных поверхностей выравнивания, являющихся реликтами низче-вертикального пeneplена, а также наличие сохранившихся от размыва мезозойских отложений. По мнению Ю.А.Билибина (1957) величина эрозионного среза в Кайновое для россыпей Становой провинции не превышает 170 м. В связи с этим поступление золота и других полезных ископаемых в гидросеть происходило на последнем историческом этапе развития рельефа, а характер их размещения в пределах днищ речных долин в основном определялся особенностями морфоструктурного и гидрологического строения речных систем района. В его пределах отмечаются как участки сравнительно древнего рельефа с дряблой гидрострессом и гостеприимством процессов аккумуляции, так и зоны более молодого активно развивающегося рельефа с пре-валированием процессов выноса материала. К первым относятся большая часть долины р. Тарынак (без низовьев), реки Петровский Ключ и Андреевский Ключ, бассейны верховьев рек Десса и Брянты. Сюда же можно отнести и субмеридиональные участки рек Мал. и Бол.Даурок. В пределах указанных долин имелись оптимальные условия для аккумуляции. В связи с этим к ним приурочено подавляющее боль-

шиство наиболее крупных россыпей района. Образование россыпей в долинах, приуроченных к зонам активно развивающегося рельефа, неблагоприятно. Однако на отдельных участках в силу определенных геологических особенностей (тектонические владины, характер пород, слагающих днища долин и др.) создавались своеобразные ловушки, где расширения долин, характер шотика и ряда других факторов способствовали задержанию золота в аллювию и образованию облатых россыпей (районы присков Викторовский и Андреевский).

## ПОЛЕЗНЫЕ ИСКОПАЕМЫЕ

Формирование месторождений и проявлений полезных ископаемых, расположенных на территории листа № 52-Л, происходило в несколько этапов. С первым – архейским этапом – связаны проявления осадочно-метаморфогенных магнетитовых руд в породах киркианской слиты, а также редкоземельной минерализации в кварцитах верхнеалданской свиты. С архейскими гранитами связывается проявление редкоземельной минерализации, которое приурочено к жилам ортооклазитов и пегматитовым участкам среди гранитов. Со вторым – раннепротерозойским этапом связаны проявления титана, никеля и кобальта, пространственно и генетически приуроченные к массивам табборо и табборо-амфиболов. В пегматитовых жилах отмечается мусковит. С раннепротерозойским магматизмом большинство исследователей (Андраников, 1947; Анерг, 1928; Билибин, 1937; Коржинский, 1953; Зверев, 1928) связывают проявления коренного золота, выкрашенного в диафторитированные породы. С мезозойским магматизмом, с его завершающей гидротермальной стадией, связываются мелкие руды, приуроченные к нижнемеловым гранодиорит-порфирям. Медная минерализация сопровождается проявлениями золота, серебра, свинца. С мезозойским магматизмом связывается основная масса золота известного в районе, горного хрустала, а также проявления ртути, молибдена и висмута, пока еще не обнаруженных в коренном залегании, но известных в аллювии. В завершающий кайнозойский этап происходит разрушение коренных источников полезных ископаемых, часть которых локализуется в современном аллювии, образуя россыпные месторождения и шлиховые оруды. На территории листа известны аллювиальные россыпи золота, шлихита. В шлихах встречаются хромит, ильменит, монацит, ортит, циркон, молибденит, киноварь, золото. Металлсмештитским опробо-

ванием установлен ряд солевых ореолов с повышенным содержанием титана, кобальта, золота.

## МЕТАЛЛИЧЕСКИЕ ИСКОПАЕМЫЕ

### Черные металлы

Магнетитовые руды известны на водоразделах рек Бол. Даура – Сутам и Сутам-Кабакта (20, 22, 23, 24, 25, 26, 27, 28). Они приурочены к кварцитам киркианской свиты археи и представлены выхвальными, тонкополосчатыми, реже массивными рудами кварц-магнетитового и кварц-магнетит-пироксенового состава. Форма рудных тел неправильная, иногда линзовидная, вытянутая. Длина их достигает 200–250 м, мощность до 40–50 м. Содержание железа до 40% при среднем – около 30%. Наиболее крупные проявления отмечаются на водоразделе рек Бол. Даура–Сутам (26, 27, 28). Протяженность рудной зоны по развалам и единичным останкам 300–350 м, мощность – 50–60 м. Содержание железа от 26 до 31%, титана от 0,02 до 1,75%, серы – от 0,01 до 0,02% и фосфора до 0,05%. (По результатам анализа 30 проб, Лебедев, 1957 г.). Генезис магнетитовых руд – осадочно-метаморфогенный. Их образование произошло за счет метаморфизма древних железистых осадков с последующим наложением метасоматических процессов в связи с внедрением архейских амфиболовых гранитов. Все азромагнитные аномалии, выявленные на территории листа, практически совпадают с описанными проявлениями, которые из-за небольших размеров и низких содержаний железа, практического интереса не представляют. Поэтому район в целом оценивается как перспективный на магнетитовые руды.

Титан. С разрушением Тарынакского массива связано об разование россыпей ильменита по р. Тарынакс и ее притоку Найды-Тарынакс (ЭЛ). Долина р. Найды-Тарынакс широкая (400–500 м), пологодонная. В составе аллювия (мощность до 8 м) преобладают пески и галечники. Аллювиальные отложения р. Тарынакс ильменитоносны на интервале 14 км (от устья р. Найды-Тарынакс до резкого поворота реки на север). На этом отрезке долина, ширина которой варьирует от 400 м до 2 км, изобилует многочисленными солотами, старицами и протоками. Русло сильно меандрирует. В разрезе аллювиальных отложений виделась пойма и 1 надпойменная терраса высотой до 6 м. Аллювий представлен хорошо окатанными галечниками и песками с небольшими прослоями глин. Его общая мощность составляет не

общее 10 м. Содержание ильменита (по результатам анализа 50 шлиховых проб, отобранных из руслово-аллювиального и аллювия высокой поймы) в реках Тарынак и Налды-Тарынак достигает 96 кг/м<sup>3</sup>, при среднем 13 кг/м<sup>3</sup> (Глуховский, Микалов, 1962 г.). При средней ширине россыпей 500 м, протяженности 20 км, минимальной, условно принимаемой мощности песков 1 м и среднем содержании 13 кг/м<sup>3</sup>, запасы ильменита оцениваются в 130 000 т. Учитывая частичное захоронение аллювиальных отложений под делювиальным шлейфом, более высокие содержания ильменита на глубине, большую продуктивную мощность песков — запасы ильменита в россыпях р.Тарынак, возможно, превышают указанную цифру в несколько раз. Имеющиеся данные не позволяют оценить россыпь ильменита по р.Тарынак как промышленную. Ее ценность может быть установлена после проведения разведки. Постановка разведки в то же время не является первоочередной в связи с неблагоприятным географо-экономическим положением района.

Бесовые содержания ильменита (до 64 кг/м<sup>3</sup>) отмечаются во всех правых притоках реки Тарынак, пересекающих Тарынакский массив, и в ключах, размывающих Лучинский массив, в котором установлены низкие концентрации титаномагнетита (до 5% в проточенных пробах). Однако из-за небольших размеров (длина долин до 2 км и ширина аллювия до 200 м) эти россыпи — шихтовые ореды — 3,82 — не имеют промышленной ценности. Шихтовый ореол рутила (14) установлен в бассейнах рек Кабакта, Субтуутур I и Бол.Даурка. Коренными источниками его являются гнейсы архея.

**Т и т а н о м а г н е т и т .** Проявления титаномагнетита отмечаются в среднем течении р.Тарынак. Они приурочены к массиву таборидных пород и представлены неравномерной узкой зоной концентрации титаномагнетита и в меньшей степени ильменита и рутила. В пределах наиболее трансформированных площадей Тарынакского массива отмечаются участки выщелаченных руд с содержанием титана до 1,8% и железа около 20% (36, 37). Генезис титановой минерализации тесно связан с процессами гранитизации массива, в результате которой происходило разложение темноцветных минералов с выделением значительных масс фемиических элементов.

**Х р о м .** Хромит установлен в шлихах, где он встречается в единичных зонах совместно с монацитом, цирконом, ортитом, ильменитом и рутилом и образует два ореола (4, 21). Коренным источником хромита являются, видимо, территенные отложения нижнего мела (верховья р.Джелиндикан) и основные кристаллические сланцы коринской свиты архея с маломощными (1-5 м) линзами пироксенитов (крайний северо-восток территории листа). Предполаг-

аемые коренные источники хромита не являются промышленно слагаемыми, и территория листа оценивается как неперспективная на хромит.

#### Цветные металлы

**М е д ь .** Брянтинское месторождение меди (80) приурочено к тектоническому контакту штока нижнемеловых плагиогранит-порфиров с протерозойскими ортозамфиболитами. В береговом обрыве р.Брянты, в 120 м выше устья ручья Бончок, отмечается зона брекчий мощностью до 15 м, с густой сетью трещин, выполненных халькопиритом. Наряду с прожилковой минерализацией по всей массе брекчий отмечается мелкая выщелаченность и отдельные гнезда размером 0,1 х 0,3 м с содержанием рудных минералов до 10-30%. К северо-востоку от берегового обнажения рудоносная зона прослеживается по старым канавам на 50 м. Ее мощность здесь составляет от 3,6 до 7 м. Далее она по обломкам оруденелых брекчий прослеживается еще на 100-150 м до субширотного разлома, которым, видимо, и срезается. На левом берегу ключа Бончок, в 400 м от его устья, в уступе эрозионной террасы вскрывается еще одна, но более узкая рудная зона. Она протягивается в северо-восточном направлении и приурочена к зоне дробления в платигранит-порфирах. Оруденение представлено выщелаченными и тонкодренизовыми (доли сантиметра) рудами. По простиранию зона прослеживается на расстояние 20 м при мощности оруденелых пород около 1-1,5 м.

Минералы, слагающие рудные зоны, представлены халькопиритом, висмутином, сфalerитом и гипергеннymi минералами: ковеллитом, халькоzinом, борнитом, малахитом, азуритом и лимонитом. Кроме этого, в рудах месторождения установлено присутствие сребра в количествах до 50,8 — 166,8 г/т. Генезис месторождения гидротермальный. Медная минерализация сопровождается окварцеванием, пиритизацией, хлоритизацией и карбонатизацией вмещающих пород.

Запасы месторождения, по данным Е.В.Минеева (1953 г.), составляют 8800 т меди при среднем содержании 1,6%. Следует отметить, что Е.В.Минеев ошибочно определил простирание рудной зоны, как ССЗ. При этом оруденение по руч.Бончок принималось им как продолжение первой зоны, что привело к завышению протяженности рудной зоны до 400 м и, следовательно, завышению запасов месторождения. В связи с этим становится под сомнение вывод Е.В.Минеева о промышленной ценности месторождения; незначительные размеры и запасы позволяют классифицировать его как непромышленное.

Проявление меди в верховых р.Десс (35) открыто М.М.Лебедевым (1957 г.). Оно представлено налетами азурита и малахита, приуроченными к трещинам в альбит-амфиболовых оротовикованных двуслюдянных гнейсах. Содержание меди около 0,1%. Это проявление практической ценности не представляет.

Единичные знаки халькопирита отмечаются в шлихах из алювия рек Инамии, Дамбука-Макит, Зимовьекачи и по р.Брянта. Эти находки простираются к району Брянтинского месторождения и свидетельствуют о более широких масштабах медной минерализации, что позволяет оценивать район как перспективный на открытие медных месторождений.

**С в и н е ц.** Минералы свинца – галенит, вульфенит, церусит, англезит – встречаются в шлихах в верховых р.Десс, где они образуют ореол (34). В этих же шлихах присутствуют базовисмутит, молибденит и золото. На площади ореола расположено проявление меди на р.Десс. Кроме этого, наличие в шлихах таких минералов как галенит, церусит и англезит свидетельствует о близости коренного источника и позволяет считать площадь ореола перспективной в отношении поисков коренных руд.

**Н и к е л ь , к о б а л ь т .** Повышение содержания никеля и кобальта установлены спектрометрическим опробованием в пределах площади распространения основных пород Лужинского массива (89). По данным спектральных анализов скопковых проб содержания никеля и кобальта превышают районный кварт в 10 раз и равны: никель – 0,1–0,01%, кобальт – 0,01–0,03% (Глуховский, 1962 г.). Рудопроявления никеля выявленного типа отмечаются на юге Лучинского массива (Нестеренко, 1960 г.). Все это свидетельствует о потенциальной кобальто-никеленосности Лучинского массива, и вполне вероятно, что в его пределах возможно нахождение практически интересных скоплений минералов никеля и кобальта, локализующихся, вероятнее всего, в нижних частях: ликвационный тип, окраинные субвидные руды.

#### Благородные металлы

**З о л о т о .** Территория листа №-52-II входит в Становую золотоносную провинцию, протягивающуюся на 800 км с запада на восток от р.Олекмы до бассейна р.Ток (Глуховский, 1962). В пределах территории листа №-52-II выделяются два золотоносных узла: Сутамский и Брининский.

Сутамский золотоносный узел охватывает бассейн р.Ниж.Дже-линда и верховья р.Мал.Даурии. В прошлом здесь существовал ряд

приисков, ныне отработанных. Суммарная добча золота за время эксплуатации с 1899 по 1911 гг. характеризуется (по Звереву, 1928 г.) цифрами, приведенными в табл. 2.

Таблица 2

Прииски	Время	Максимальная годовая добча, кг	Год	Суммарная добча, кг
Вынгоровский	1905-1911	445,7839	1911	1773,1902
Алексеевский	1899-1908	449,5345	1902	1717,8517
Веселый	1908-1911	417,8374	1908	1142,9108
Анненский	1906-1911	549,8636	1907	983,4016
Яблоновский	1906-1908	335,9213	1906	448,0928
Успенский	1902-1908	197,5042	1903	431,4312
Андреевский	1902-1911	49,7841	1903	143,2558
Петровский	1899-1905	25,9097	1901	79,5620
<b>Итого</b>				6721,0385

После 1912 г. начинается резкий спад добчи золота, а в период с 1916 по 1928 гг. проводились только артельно-старательские работы. Сведения о добче и разведке новых площадей за это время крайне скучны и обрывочны. За 1917 г., по данным Верхнеамурской золотопромышленной компании, добто золота (в кг): на прииске Алексеевском – 36,60, Вынгоровском – 23,76, Петровском – 25,30, Николаевском – 4,96, всего – 90,62.

Сведения о коренном золоте в пределах Сутамского золотоносного узла приводятся Э.Э.Анертом (1928), который отмечает, что в верховых р.Андреевской были вскрыты кварцевые прожилки с золотом. Там же ему "примелько видеть обломки хлоритового гнейса с золотом". Рудное золото встречено, кроме этого, в молой кварцевой жиле, ориентированной параллельно простиранию гнейсов, вскрытой в почве россыпи Алексеевского прииска. Западнее, по тому же простиранию в районе прииска Веселого было замечено много кварцевых струек с видимым золотом. В районе приисков Петров-

ский и Андreeвский из 9 образцов гнейсов, богатых цветными минералами, лишь в одном золота не оказалось, во всех остальных — следы". Из 8 образцов светлых гнейсов, белых пачетами, лишь в двух оказались следы золота". Э.Э.Анерт считает, что "часть россыпи района и происходит из кварцевых жил, но плакая, должно быть, имеет источником всю массу некоторых пород, например хлоритовых, гранатовых и т.п. гнейсов".

Д.В.Бознесенский (1950 г.) связывает золотое орудение с темными сланцами, где "золото могло быть импренировано с диоритом или мелкими кварц-платиоклавовыми прожилками".

Работами, проведенными в 1961 г. (Глуховский, 1962 г.), устанавливается приуроченность россыпей Сутамского узла к диаборитам, расположенным в субширотной зоне смещения Алданского и раннепротерозойской складчатой области. В этой же зоне отмечается обилие обломков жильного кварца. Клини гранича с линией Станового хребта, на- сколько выходит за пределы зоны диаборитов, а северная проходит примерно по границе распространения даек раннемеловых гранодиорит-порфиров, расположаясь внутри поля развития диаборитов и диаборитированных пород. По данным золотометрического опробования, в бассейне р.Петровский Ключ выделяется спектрометрический ореол, пространственно приуроченный к пиритизированным диаборитам (54). Внутри ореола по 9 пробам установлено содержание золота от 0,1 до 2 грамм на 1 т. Помимо этого, в обломке обожженного жильного кварца (левый склон кр.Анненского) установлено золото в количестве 0,5 г/т (63). Шлиховые пробы из делювия (дресна пиритизированных диаборитов) показали содержание золота от 3 до 5 знаков (по 2 пробам). Вероятнее всего, золото присутствует в виде тонкой рассеянной вкрапленности в диаборитах, в кварцевых жилах и зонах пиритизации.

Россыпное золото в пределах Сутамского узла известно в целом ряде рек и ключей, причем часть россыпей подверглась интенсивной отработке.

Река Андreeвский Ключ золотоносна на всем протяжении. Ширина долины около 1000 м, мощность аллювия до 6 м. Выделяются пойма и первая терраса высотой до 3 м. Следы отработки отмечаются в среднем течении (47) на протяжении 1,5-2,0 км. Работы велись ямным способом. Отработаны пойма и первая терраса. В остальных частях долины (46) встречены следы разводок, результат которых в архивных материалах не обнаружены. Шлиховым опробованием установлено, что золото в россыпи не окатанное и представлено пластинчатыми, палочковидными, дendirитообразными зернами.

Плотик сложен неоднородными по твердости диаборитами, местами интенсивно окварцизованными и пиритизированными. По мнению Э.Э.Анерта (1928), золото залегает на "родном плотике".

Река Петровский Ключ (56) образована слиянием ключей Анненский и Яблоновый. Река Петровский Ключ характеризуется широкий (до 1 км) пологосклонной долиной. Следы отработок начинаются от слияния ключей Анненского и Яблонового и продолжаются на всем ее протяжении до устья (4-5 км). Отработка велась ямным способом на отдельных, очевидно наиболее богатых, участках. Местами оставались целыми. Плотик сложен диаборитованными гнейсами, местами пиритизированными и окварцизованными. Золотоносным является русской и пойменный аллювий, аллювий первой террасы, а также старые отвалы. По данным Сивцева (1929-1930 гг.), мощность песков 0,2 - 0,45 м и торфов 2,8 - 4,4 м при среднем содержании золота 3,25 - 7,852 г/м<sup>3</sup> на пласт. Шлиховым опробованием установлено, что в старых отвалах содержание золота достигает 0,16 г/м<sup>3</sup>, в целиках - 0,288 - 10,3 г/м<sup>3</sup>. Золото неокатанное. Преобладают пластинки, комковатые формы, реже дендриты. Размер золотин - 0,05 - 1,0 мм. Встречаются сростки золота с клаудием. Ключ Анненский (64) левый приток р.Петровский Ключ характеризуется выпложенной долиной до 300 м, при мощности аллювия около 5 м. Плотик сложен диаборитами, местами пиритизированными и окварцизованными. Наиболее интенсивно отработана руслоная часть долины. В участках высокой поймы выработаны ямы способом несложные шлюзы. Содержание золота в старых отвалах - 0,12 - 0,832 г/м<sup>3</sup>, в русском аллювии - 0,112 г/м<sup>3</sup>.

Правые притоки реки Петровский Ключ - ключи Узелный, Михайловский, Николаевский, Снежный и Яблоновый имеют уже 1-образные долины со значительным продольным уклоном. Ширина их в нижнем течении составляет не более 200 м, а для ключа Яблонового - около 350 м. Мощность аллювия - 2-3 м. Интенсивная отработка велась в ключе Михайловском (55) и в нижней части ключа Яблонового (65). В долинах остальных ключей отмечены лишь следы разведочных работ.

Бассейн р.Петровский Ключ, несмотря на значительную отработанность, имеет, видимо, достаточные запасы золота, как в многослойных целиках, так и в отвалах. Не менее ценными могут оказаться такие участки долин, где отработка не производилась.

По р.Ниж.Джельиде известны два отработанных участка - бывшие приски Андreeвский (44) и Викторовский (38). Долина р.Ниж.Джельиде в районе этих присков характеризуется широким разработанным днищем, террасирована, условия для аккумуляции благородных

ни. Плотик сложен диафторированными гнейсами (присык Андреевский), юрскими сланцами и песчаниками (присык Викторовский). Следы интенсивной отработки отмечаются у присыка Андреевский. Добыча здесь производилась механическим способом с промывкой песков на обогатительной установке. Судя по тому выпуска оставляемого оборудования, работы относятся к концу 1930-х годов; однако, в архивных материалах следения о добче отсутствуют.

Россыпь присыка Викторовский, судя по отвалам, выработана почти полностью. По данным Сивцева (1929-1930 гг.), на одном из участков присыка Викторовский среднее содержание золота на пласт составляло  $4,439 \text{ г/м}^3$  при мощности песков 0,42 и торфов 3,13 м. Ключ Алексеевский - правый приток р. Ниж. Джалинда (присыки Веселый и Алексеевский, 49,50), и Успенский, 52 - (левый приток в верховых р. Мал. Даурки) - отработана полностью. В шихах золото средней крупности (до 1 мм), неокатанное, часто в сростках с кварцем.

Россыль по правому притоку р. Тарынак (43) открыта в 1961 г. (Глуховский, 1962 г.). Долина широкая, пологосклонная, мощность аллювия не более 3-5 м. Плотик россыпи сложен диафторитами, а в нижней части долины осадочными породами нижнего мела. Золото установлено шлиховым опробованием приповерхностной части русло-вого аллювия с содержанием до 12 знаков на логот (9 проб). Форма золота пластинчатая, комковатая, окатанность хорошая, размер золотин 0,1 - 0,8 мм. Учитывая благоприятные условия для аккумуляции, в этой россыпи можно ожидать промышленные концентрации золота в приплотинской части.

Небольшие россыпи золота со знаковыми содержаниями отмечены в нижнем течении р. Тарынак (II) и р. Ниж. Джалинда (IO). Единичные знаки с золотом встречаются в долинах рек Джалиндакан (4 шлиха), по к. Бол. Безымянной (4 шлиха), по Сутаму, Бол. и Мал. Дауркам. Золото в шлихах окатанное, ассоциирует с орбитом, монацитом, цирконом, ильменитом, хромитом.

Брянтинский золотоносный узел расположен в бассейне реки Брянты. Внутри него выделяются две площади: собственно р. Брянта и ее притоки и ключ Ясный (бассейн р. Десс).

Сведения о коренном золоте (в пределах Брянтинского золотоносного узла) приводятся Е. Е. Фроловой (1952 г.), которая указывает на наличие в рудах Брянтинского месторождения золота в количестве 0,3 - 0,5 т/т. В районе этого же месторождения установлен спектроизотометрический ореол (77) с содержаниями золота от 0,02 до 0,5 г/т (16 проб). Этот ореол охватывает зону северного экзоконтакта штока нижнекемовых платигранит-торфоров

с залегающими нижнего мела. Последние на контакте интенсивно хлоритизированы и серпентинизированы; местами отмечается пиритизация (Глуховский, 1962 г.).

Следения о золотоносных россыпях Брянтинского узла производятся по материалам Н. Ф. Ленинина (1949 г.), которые не всегда содержат исчерпывающие данные.

#### Ключ Каптолин (69)

разведен двумя буровыми и двумя шурфовыми линиями. В линии скважин линии № 2 установлено золото в количестве от 595 до  $1664 \text{ мг/м}^3$  при мощности торфов 0,2 - 4,6 м и мощности пласта 0,2 - 0,8 м. По линии шурфовых линий, содержание золота  $1 - 15 \text{ мг/м}^3$  или "пусто". Рассыпь по кл. Каптолин - непромышленная.

Ключ Олонгро (72). В 1940-41 гг. на отрезке долины в 4,7 - 6,5 км от устья было проходено 5 шурфовых линий. По линии № 2 - содержание золота на пласт ЗИ -  $2721 \text{ мг/м}^3$  на массу от 41 до  $354 \text{ мг/м}^3$ , при мощности пласта около 0,4 м. По линии № 3 - содержание золота до  $3608 \text{ мг/м}^3$  при мощности пласта 0,2 - 0,6 м и мощности торфов 3,4 - 4,2 м. Рассыпь промышленная (запасы 154,5 кг для механических работ).

Ключ Случайный (приток р. Олонгро) (72). В 1940 г. проходено 5 буровых и 2 шурфовых линии на протяжении первых 1,8 км от устья. Среднее содержание золота  $2582 \text{ мг/м}^3$ , мощность торфов 2,5 м и пласта 1,05 м. В 1940-42 гг. рассыпь отрабатывалась. Добыто 37,2 кг золота (из общих запасов - 45,2 кг). Рассыпь относится к категории промышленных отработанных.

Ключ Параллельный (75). В 1940-41 гг. разведен тремя линиями шурfov. В двух шурфах содержание золота  $1438$  и  $1175 \text{ мг/м}^3$  на пласт при мощности торфов 3 - 3,6 м и пласта 0,8 - 1 м. Рассыпь промышленная.

Ключ Дорожный (76) разведен в 1938-39 гг. 6 линиями шурfov. На основании разведочных линий № 2, 3 и 4 в Дамбукинском присыковом управлении на I/I 1940 г. числятся запасы по категориям С1 - 63,9 кг при среднем содержании  $2720 \text{ мг/м}^3$ . Эксплуатационные работы на этой россыпи проводились в 1939 г. В 1944-1945 гг. Брянтинской партией "Амурзолото" пройдены еще 2 линии шурfov. Из 21 шурфа в четырех - промышленное золото с содержанием от 402 до  $2630 \text{ мг/м}^3$  при мощности пласта 0,4 - 1,0 м и торфов 2,6 - 3,4 м. Золото ключа Дорожный - крупное, слабоокатанное. Рассыпь промышленная, частично отработанная.

Ключ Северный (78). В 1938 г. проходено 6 шурfov. Максимальное содержание золота до  $26 \text{ мг/м}^3$  на массу. В 1944-1945 гг. проходено еще две линии шурfov. Содержания знаковые до  $17 \text{ мг/м}^3$ .

Россыль непромышленная.

Ключ Соктюрьский (Бончок) (79). До революции здесь велись небольшие эксплуатационные работы. В 1938 г. старательми выработана яма с содержанием золота до  $5 \text{ г/м}^3$ . В 1939 г. пройдено две шурфовые линии. Содержание золота от знакового до  $192 \text{ гт/м}^3$  на шахте. В 1944-1945 гг. Брянтинской партией "Мурашкот" пройдено 5 шурфовых линий. По данным разведки подсчитаны запасы в II, 7 кг золота при среднем содержании  $1072 \text{ мт/м}^3$  на пласт. Россыль про-мышленная, частично отработанная.

Река Углиркан (Зиновьевка) заключает в среднем (71) и в нижнем (81) течении два золотоносных участка. Разведочные работы, проходившиеся в 1938 и 1944-1945 гг., не дали положительных результатов. Содержания золота непромышленные.

Река Хаккула (73). В 1938-1939 гг. пройдено три шурфовых линии. В пяти шурфах содержание золота от  $107 \text{ мт/м}^3$  до  $2650 \text{ мт/м}^3$  при мощности пласта  $0,2 - 0,8 \text{ м}$ . В 1940-1941 гг. пройдено 8 буровых скважин. 7 из них дали "знаки" или "пусто". В скв. 12 содержание золота оказалось равным  $5099 \text{ мт/м}^3$  на пласт. В 1944 г. через долину р.Хаккулы пройдено еще три буровых и одна шурфовая линия. Из 28 скважин и 9 шурfov лишь в 6 скважинах установлено золото от  $115 \text{ мт/м}^3$  до  $1655 \text{ мт/м}^3$  на пласт при мощности пласта  $0,2 - 1,0 \text{ м}$ . Россыль непромышленная.

Ключ Талый (74). В 1944-1945 гг. пройдено I буровая и 2 шурфовые линии. Из них лишь в скважинах 10 и 11 обнаружено золото в  $331 \text{ мт/м}^3$  и  $918 \text{ мт/м}^3$ . Площадь россыпи  $9000 \text{ м}^2$ , мощность песков -  $0,8 \text{ м}$ . Среднее содержание  $6224 \text{ мт/м}^3$ , запасы по  $C_2 - 45 \text{ кт}$ .

Река Бабы (94). В 1944-1945 гг. пройдено II буровых линий. Большинство скважин золота не установлено. В нескольких золото содержится от знаков до  $888 \text{ мт/м}^3$ . Россыль непромышленная.

Ключ Мамотка (87). Пройдено 4 буровых линии. Запасы золота определены в 5,5 кг. Россыль непромышленная.

В пределах долины р.Брянта, на отрезке от устья км.Бончок, вниз по течению на расстоянии около 20 км, установлено 7 промышленных россыпей (85, 84, 83, 88, 91, 92, 70).

Одна из россыпей (85) имеет запасы золота по категории  $C_1 - 79,3 \text{ кг}$ , по  $C_2 - 270 \text{ кг}$ . Россыль (84), расположенная ниже устья км. Северный, в 1938 г. была разведана шурфами. По шурфам I и III на I/I 1940 г. подсчитаны запасы золота по  $C_1$  в количестве 87,791 кг при мощности торфов  $5,7 \text{ м}$ , песков  $1,1 \text{ м}$  и среднем содержании до  $2776 \text{ мт/м}^3$  на пласт. В нижней части россыпи, расположенной в 150 м выше устья км.Дорожный, подсчитаны запасы золота

в количестве  $21,723 \text{ кг}$ . Площадь участка -  $20208 \text{ м}^2$ , мощность торфов -  $4,4 \text{ м}$ , мощность песков -  $1,0 \text{ м}$ , среднее содержание золота  $1075 \text{ мт/м}^3$  на пласт.

Данные по разведке и отработке остальных россыпей р.Брянты отсутствуют. Они показаны на карте полезных ископаемых на основании материалов Н.Ф.Левкина (1949 г.).

В бассейне р.Десы расположен южный присып Ясный (62) - первый приток р.Дебёрги. Начиная от устья на протяжении первого километра долина кlyча полностью выработана. Было до  $3850 \text{ м}$ , считая от устья, проводились ямные разработки. Данных по выработанным площадям в архивах нет. В 30-х - 40-х гг. выше полосы отработки и на целиках проводились разведочные работы, на основании которых Дальневосточным геологическим управлением подсчитаны запасы золота по категории  $C_1$  в количестве 32 кг при мощности пласта  $0,6 \text{ м}$ , торфов -  $3 \text{ м}$  и среднем содержании золота  $2442 \text{ мт/м}^3$ . Эксплуатационных работ здесь не проходило.

Вышележащие материалы, а также благоприятная геологическая обстановка позволяют оценить территорию листа №-52-П как перспективную на россыпное золото. Наличие квартцевых жил, зон пиритизации и диафтореза (верховье р.Петровский Ключ), зоны гидротермальных изменений (район Брянтинского медного месторождения), сопровождающихся спектроэрозиометрическими определениями, благоприятная тектоно-магматическая обстановка (ранненемеловые (?) даники и малые тела) позволяют оценить район как перспективный на поиски коренного золота.

#### Редкие металлы

М о л и б д е н . Молибденит отмечен в 13 шлихах. Из них 8 шлихов пространственно разобщены, а остальные пять образуют ореол во втором правом притоке р.Мал.Даурка (53, квадрат П-3). Наличие весьма убогой выращенности молибденита на контакте ранненемеловых (?) гранодиорит-порфиров с конгломератами нижнего мела (среднее течение р.Тарнак) свидетельствует о мезозойском возрасте молибденовой минерализации, которая может быть приурочена к зонам разломов.

Р е д к и е з е м л и представлены тремя группами коренных проявленияй.

Первая группа - пегматоидные жили и жилы ортотектитов, среди метаморических пород архея (6, 8, 16, 17, 18, 19, 39, 60). Все они характеризуются небольшими размерами и убогой рудной

минерализацией. Протяженность большинства рудных тел составляет не более 4–6 м при мощности 0,3 – 1,0 м. Максимальные размеры 50 × 6 м. Рудная минерализация представлена крайне неравномерной вкрапленностью циркона, ортита и монацита. Содержание суммы редких земель составляет от 0,001 до 0,03%, циркония от 0,002 до 0,02% и тория до 0,01%. Все рудные тела обладают повышенными значениями гамма-интенсивности (до 200 мкР/час) и имеют ториевую природу радиоактивности.

Вторая группа объединяет проявления, приуроченные к пегматитовым участкам, среди архейских аллювийтовых гранитов (1, 12, 57, 58). В большинстве случаев такие участки характеризуются повышенной радиоактивностью (до 150–200 мкР/час), несут малую вкрапленность циркона и ортита и имеют небольшие размеры (до 2 – 4 м<sup>2</sup>). Содержание суммы редких земель в них достигает 0,09%.

Третья группа представлена проявлением в среднем течении

р. Ник. Джелини в 2,5 км к югу от приска Викторовского (40).

В кварцитах верхнеалданской свиты архея отмечается до пятнадцати изоморфозных участков размером 5–7 × 1–2 м, обогащенных неравномерной вкрапленностью циркона и ортита. Участки характеризуются повышенной радиоактивностью (от 50 до 200 мкР/час) и имеют постепенные переходы с вмещающими их кварцитами. Содержание полезных компонентов в наиболее богатых участках составляет: сумма редких земель до 0,04%, циркония около 0,1%, урана – 0,002% и тория до 0,056%. Генезис проявления – осадочно-метаморфический. На это указывает наличие окатанных зерен циркона и обломков кристаллов ортита, а также согласная ориентировка минерализованных участков с вмещающими их кварцитами.

Кроме рассмотренных типов проявлений, на территории листа имеется несколько небольших гамма-аномалий, приуроченных к дедвильным развалам глии и обломков кварц-полевошпатовых пород (39, 42, 45, 51). Все они несут узкую вкрапленность ортита и обладают повышенной радиоактивностью (от 80 до 150 мкР/час). Коренные проявления редкоземельной минерализации, обнаруженные на территории листа №-52-II, практического интереса не представляют, в силу незначительных масштабов, узкой и неравномерной минерализации и низких содержаний.

Из редкоземельных минералов, встречающихся в россыпях, отмечаются ортит, циркон и монацит, которые присутствуют практически во всех шлиховых пробах в значительных количествах и ассоциируют с рутилом, ильменитом и шеелитом. Наряду с этим выделяются 6 шлиховых ореолов монацита с содержаниями от первых сотен грамм до

3 кг/м<sup>3</sup>. Ореолы расположаются в бассейне левых притоков р. Тары-нак (2, 5), по рекам Субтугутур I и 2 (15), в нижнем течении рек Гидат и Кабакта (13), в бассейнах рек Олондо (68) и Уугай (67). В большинстве случаев отмечается пространственная связь ореолов с гранитами и метаморфическими породами архея, в которых монацит присутствует как аксессорий и лишь два ореола (67 и 68), в которых помимо монацита присутствует оранжит, связанный с мезозойскими гранитоидами.

Отсутствие крупных пегматитовых полей, зон минерализации, а также непримыщенный тип известных проявлений позволяют считать район не перспективным на редкоземельное оруднение.

Р т у т ь. Киноварь в единичных знаках отмечена в 14 шлихах и образует два небольших ореола: в среднем течении р. Тары-нак (30) и по реке Бол. Даурка (59). Проявление, узкий минерализации в районе, по-видимому, связано с низкотемпературной стадией гидротермальной фазы раннемелового тектально-магматического цикла. Наличие значительных концентраций киновари (в аллювиевом (аллювии) на смежной с востока территории листа №-52-II в аналогичной геологической обстановке, указывает на возможность находки богатой минерализации киновари и на территории листа №-52-II в пределах выделенных ореолов.

В и с м у т . Базовиситут встречается в шлихах в верховьях реки Десс и ее правых притоках (33). Он находится в той же ассоциации, что и минералы сцинца и, видимо, связан с теми же коренными источниками.

#### НЕМЕТАЛЛИЧЕСКИЕ ПОЛЕЗНЫЕ ИСКОПАЕМЫЕ

Г о р н ы х р у с т а л ь (41). Проявление горного хрустала известно на водоразделе рек Ник. Джелини-Тарынак. Оно приурочено к кварцевой жиле мощностью около 1 м и протяженностью более 5 м, залегающей среди кварцитов верхнеалданской свиты. В жиле отмечается несколько небольших участков размером 0,2×0,2×0,1 м с друзами полупрозрачных кристаллов кварца. Их размер составляет около 4–5 см по длиной оси. Проявление представляет минералогический интерес, однако, площади развития кварцитов верхнеалданской свиты могут рассматриваться как перспективные на горный хрусталь. На это указывает наличие широко развитого процесса низкотемпературного окварцевания в кварцитах по многочисленным трещинам и зонам дробления.

М у ск о в и т (86, 90, 93) отмечается в мусковитоносных пегматитовых жилах в среднем течении р.Брянты. Пегматитовые жилы прорывают раннепротерозойские габро и гранодиорита (86), имеют кварц-диборт-микроклиновый состав и размеры 1 х 10 м. Мусковит представлен мелкими изогнутыми пластинками размером до 1 см<sup>2</sup>. Его количество в массе жил не превышает нескольких процентов. Практического интереса проявления не представляют. Отсутствие пояса мусковитоносных пегматитовых жил позволяет отнести территорию листа №-52-Л к неперспективным в отношении мусковита.

Г р а ф и т встречен в виде небольших скоплений в двух точках. Первая расположена в правом берегу долины р.Тас-Дрих, в 10 км от устья (7). Крупные чешуйки и скопления графита размером до 3 см здесь приурочены к жиле пегматитов мощностью до 5 м с видимой протяженностью до 5-6 м, прорвавших гранит-гранат-биотитовые гнейсы ульяновской свиты архея. Содержание графита - 20%. Второе проявление расположено в левом берегу правого притока р.Алексеевского (48). Мелкие чешуйки графита (содержание до 15%) отмечаются в хлорит-серпентитовых сланцах в зоне дробления мощностью 5 м. Проявления графита практического интереса не представляют, ввиду незначительных содержаний и масштабов.

#### СТРОИТЕЛЬНЫЕ МАТЕРИАЛЫ

В качестве бута могут быть использованы интрузивные и метаморфические породы, развитые в районе. Особо благоприятными участками для разработки бутового камня являются области делювиальной шейфов (бассейны рек Сутам и Брянта), представляющие собой естественные склонения глыб и обломков размером до 0,7 x 0,7 м.

Щебень для заполнения тяжелых бетонов и для дорожных покрытий может изготавливаться также из всех интрузивных и метаморфических пород, развитых в районе. Этому способствует прочность, отсутствие мелких ксенонитов и шлиров, а также зернистая структура интрузивных пород; массивность и кристаллобластические структуры гнейсов, при дроблении не образующих тонких пластин; отсутствие в составе пород района склонений лирита (за исключением пород в зоне диафторитов) и аморфных разновидностей кремнезема. Щебень может добываться в любом месте, в зависимости от подъездных путей (преимущественно в долинах рек Сутам и Брянта).

Пески, гравий и галька из аллювиальных отложений могут

быть использованы для дорожных покрытий и как заполнитель бетона. Пески хорошо промыты и имеют в основном кварцево-полевошпатовый состав; в аллювиальных отложениях русел, как правило, отсутствуют или и глины. Гравийно-галечный материал, в составе которого преобладают интрузивные и метаморфические породы района, собирает кондиционными размерами (150-100 мм). Богатые участки накопления песков, гравия и гальки расположены по рекам Сутам, Тарнак, Брянта и Десса. Наиболее рациональными для добчи являются косые отложения этих рек, имеющие большую протяженность (до 1,5 км), ширину (до 200 м) и мощность (более 6 м), а также содержания гравия и гальки более 25%. Отработка кос не потребует вскрыших работ, а слизость воды облегчит гидромеханическое оборудование превьюино-тактного материала.

Запасы строительных материалов в районе практически не ограниченные и могут удовлетворять любые потребности в случае возникновения необходимости.

#### ОЦЕНКА ПЕРСПЕКТИВ РАЙОНА И РЕКОМЕНДАЦИИ

Площадь листа №-52-Л является перспективной на золото, медь и горный хрусталь в комплексе с которыми практический интерес могут представлять проявления синклина, ртути, никеля и кобальта.

На территории листа №-52-Л рекомендуется проведение поисково-съемочных работ масштаба 1:50 000 на площади бассейнов рек Тас-Дрих, Ниж.-Джелница, Верховьев Мал. и Больш. Девурак. Координаты: 55°50' - 55°37' с.ш. и 127°00' - 128°00' в.д. (Сутамский золотоносный узел, площадь 1488 км<sup>2</sup>).

Здесь россыпи золота приурочены к зоне диафторитов, среди которых отмечаются кварцевые жилы. Кроме того, следует подчеркнуть благоприятные структурные соотношения поясов раннемеловых даек, имеющих северо-восточное простирание, с субширотной системой Южно-Станового разлома. Пересечение этих направлений явилось поисковым признаком для золоторудных месторождений гидротермального типа в пределах Становой золоторудной провинции (Глуховский, 1962). Все это свидетельствует о возможности обнаружения в пределах площади Сутамского золотоносного узла золоторудных проявлений. Промышленную ценность здесь могут представлять только кварцевые жилы.

В геодинамическом отношении россыпи золота локализуются в долинах, приуроченных к участкам сравнительно дрезного рельефа

с прямой гидросетью и преобладанием процессов аккумуляции.

Здесь, по-видимому, следует привести перспективу золотоносных россыпей по р.Петровский Ключ и ее притокам, а также по рекам Ний, Джелинде, Андреевский Ключ с целью выявления перспектив под дражную обработку. В отношении перспектив на золото участков древних долин определенный интерес представляет древняя долина р.Петровский Ключ, где возможно нахождение промышленного золота (район б.примка Петровского к юго-западу - 2 км). С целью выявления промышленных месторождений горного хрустала рекомендуется проведение маршрутно-поисковых работ на участке развития кварцитов верхнеалданской свиты архея. Помимо этого, с целью возможного выявления промышленных месторождений необходимо проработки детализации участков шиховых ореолов киновари (правобережье р.Бол.Даури) и свинца (верховья р.Десс.).

В пределах Брянинского золотоносного узла рекомендуется постановка поисковых работ масштаба 1:10 000 в полосе шириной 5 км и протяженностью 15 км (от к.Бончок до р.Инамичи), для выявления новых коренных месторождений меди и связанных с ней золота и серебра. В пределах этой полосы в аллювии встречается халькопирит. Коренные источники меди могут локализоваться в местах сопряжений северо-восточных и северо-западных разломов и трещин, контролирующих известные здесь промыслы меди и золота. Золотые россыпи Брянинского золотоносного узла имеют второстепенное значение, из-за незначительных масштабов и содержаний, частичной или полной отработанности. Однако не исключена возможность открытия отдельных более богатых участков в пределах ранее известных россыпей.

С целью возможного выявления месторождений никеля и кобальта рекомендуется постановка поисковых работ на площади выходов основных пород Лучинского массива.

## ПОДЗЕМНЫЕ ВОДЫ

Режим подземных вод района определяется наличием многолетней мерзлоты, характеризующейся островным развитием. Мощность слоя многолетней мерзлоты в пределах площади листа №-52-П определяется условно по аналогии с Чульманской котловиной, где бурением установлено залегание его на глубинах до 100 м.

На основании приуроченности подземных вод к породам различного происхождения и литолого-петрографического состава, а следовательно, различных коллекторских свойств и водообильности

на территории листа №-52-П выделяются: 1) водоносный комплекс аллювиальных современных и нерасщепленных верхнечетвертичных и современных отложений; 2) водоносный комплекс нижнемеловых и юрских осадочных отложений; 3) водоносный комплекс мезозойско-антрузий; 4) водоносный комплекс архейских и нижнепротерозойских метаморфических и интрузивных пород. Воды всех выделенных комплексов являются либо наф-, либо подмерзлими.

Надмерзлотные воды распространены повсеместно, но в основном приурочены к водонесному комплексу аллювиальных отложений, где водовмещающие породы представлены русловым и пойменным аллювием, в составе которых существенную роль играют мелкозернистые пески, перемежающиеся с талькой и валунами, а в пойме и со сплошными ступинками. В долинах крупных рек бассейнов Сутама и Брянты в составе нижних горизонтов руслового аллювия (по аналогии с террасовыми отложениями) можно ожидать наличие волнуно-галечных отложений с возможной водопроницаемостью 1/3 объема и с хорошей водопропускной способностью. Дебит полрусовых и пойменных вод находится в зависимости от времени года и при средних летних уровнях воды в реках определяется цифрами 0,5-1,0 л/сек. В зимнее время мелкие водотоки промерзают до дна и дебит полрусовых и пойменных вод резко снижается до минимума. Однако в реках, характеризующихся большой глубиной (до 5 м) и мощностью руслового аллювия до 8-10 м (реки Сутам, Брянта, Утугай, Бол. и мал. Даури, Десс, Тарынак), в зимний период циркуляция полрусовых вод не прекращается и они могут представлять интерес для технического и хозяйственного водоснабжения. В летний период для водоснабжения можно использовать русловые воды рек и ручьев, которые при нормальном уровне обладают всеми необходимыми качествами (чистота, приятный вкус, мягкость).

Питание надмерзлотных вод высоких террас и делювиальных щелей осуществляется за счет атмосферных осадков и зависит от степени сезонного оттаивания лягательного слоя, мощность которого невелика - 0,5 м на склонах северной экспозиции и 0,5 - 1 м на горизонтальных площадках и склонах южной экспозиции. Источники этих вод вскрываются в долинах рек и ручьев и не имеют хорошо оформленного выхода. Глубокая инфильтрация их затруднена, что вместе за собой заставляетование поверхности пологих и низких водоразделов и долин (бассейны рек Сутам, Брянта, Десс, Тарынак). Сезонность вод, циркулирующих в отложениях террас и делювиальных щелей (зимой эти реки промерзают до залупора, которым служит многолетняя мерзлота), не позволяет их использование в качестве

источника бытового и технического водоснабжения.

Надмерзлотные воды водоносного комплекса нижнемеловых и фرسких осадочных отложений относятся к пластово-трещинному типу. Пластово-трещинные воды Сугамской депрессии, где осадочные породы характеризуются пологими залеганиями, видимо, могут обладать напором, так как в целом Сугамская депрессия (включая ту часть, которая располагается на северной с запада территории листа N-52-1) представляет собой пологую мульдообразную синклиналь, которая может служить благоприятной структурой для существования здесь небольшого артезианского бассейна (по аналогии с Чульманской котловиной). Литание артезианского бассейна Сугамской депрессии идет за счет инфильтрации атмосферных осадков и вод, циркулирующих в аллювиальных отложениях.

Надмерзлотные воды водоносного комплекса мезозойских интрузий, а также архейских и нижнепротерозойских метаморфических и интрузивных образований относятся к трещинному типу и циркулируют в пределах верхней трещиноватой зоны коренных пород под маломощным покровом элювия и делювия. Трещиноватость пород значительная (на каждые 5 см<sup>2</sup> площади скального выхода приходится от 1 до 5 трещин). Размеры трещин разнообразны от едва заметных до 10–15 см шириной. Их природа различна: трещины отдельности, текстурные трещины. Мощность надмерзлотных вод в описываемых водонасных комплексах, зависит от характера и степени трещиноватости и экспозиции склонов. В летний период она не превышает 5–10 м. Выходы трещинных надмерзлотных вод приурочены к коренным обнажениям в долинах рек и ручьев и их водопроявлениям фиксируются в виде нисходящих родников из трещин, либо в виде высачивания. Дебит выходов обычно незначительный.

В сопредельных районах устанавливается тесная зависимость состава вод от литологии пород. Так, в области развития мезозойских интрузий воды относятся к супьватно-натривому типу, имеют очень низкую кислотность ( $\text{pH} = 4,7$ ) и несколько повышенное содержание  $\text{CO}_2$  (11 мг/л). Жесткость 0,1 (нем. град.). В области древних кристаллических пород воды имеют супьватно-тидрокарбонатно-кальциевый состав, почти нейтральную реакцию ( $\text{pH} = 6,3$ ) и низкое содержание  $\text{CO}_2$  (3,0 мг/л). Жесткость – 0,39 градуса. Минерализация обоих типов вод очень невелика и составляет около 0,03 г/л, т.е. они относятся к классу весьма мягких. Вредных компонентов не содержит. Однако благоприятные физические и химические свойства трещинных надмерзлотных вод все же не позволяют рекомендовать их для бытового и технического водоснабжения ввиду их сезонности и весьма незначительного дебита. Все надмерзлотные

водоносные комплексы гидравлически взаимосвязаны. Основной источник их питания – атмосферные осадки, частично поверхностные воды и конденсация. В зимнее время прекращается питание этих вод за счет осадков и они почти полностью (за исключением подрусловых вод глубоких водотоков) переходят в твердую fazu. О существовании в районе подмерзлотных вод свидетельствуют наледи в руслах рек, тяготеющие к зонам разломов (наледи в верхних р.Десс – в зоне Ехно-Станового разлома и на правобережье р.Утугай – в зоне субширотного разлома, пересекающего пологу дифторированных пород). Эти наледи, вероятнее всего, приурочены к выходам незамерзающих источников подмерзлотных вод, циркулирующих по глубоким трещинам. В летнее время слой речной воды маскирует место выхода субаквального источника, дебит которого можно определить лишь ранней весной путем подсчета объема льда наледи.

Недостаточное количество известных выходов подмерзлотных вод (в основном верховья р.Десс), а также отсутствие данных о дебите и химизме, требующих постановки специальных гидрогеологических исследований, не позволяет рекомендовать их в настоящее время для практического использования.

#### ЛИТЕРАТУРА

А н д� и а н о в В . Т . Дикая Якутия. Золото. Геология СССР, т.ХIII, 1947.

А н ё р т Э . Э . Два пересечения Станового (Яблоновского) хребта. Геологические исследования в золотоносных областях Сибири. Вып. Ул. С-Лб, 1908.

А н е р т Э . Э . Богатства недр Дальнего Востока, 1928.

А р х а н г е л ь с к а я В . В . Геологическая карта СССР масштаба 1:200 000. Серия Алданская. Лист 0-52-XXXI. Объяснительная записка. Госгеотехиздат, 1959.

Б и л и б и н Д . А . Локализация золотоносности в связях с текtonикой северо-востока. Пробл. сов. геологии т.7, № 5-6, 1937.

В и н о г р а д о в А . П . , Т у т а р и н о в А . И . О возрасте пегматитов Станового комплекса. "Геохимия" 1960, № 5.

Виноградов А. П., Тугаринов А. М.  
о возрасте горных пород Алданского щита. "Геохимия", 1960, № 7.

Тлуховский И. З. К вопросу о залежностях  
Становой зоны. Материалы по региональной геологии, Вып. 8, 1962.

Дзевановский Ю. К. Мезойнные гранитоиды  
хребта Станового и их структурное положение. Информ. сб. ВСЕГЕИ,  
№ 7, 1959.

Дзевановский Ю. К., Судовиков Н. Д.  
Корреляция докембрия. Изд. АН СССР, 1960.

Дзевановский Ю. К., Лагадина Г. Р.  
и др. Геологическая карта Алданского горнопромышленного района  
масштаба 1:500 000. Госгеотехиздат, 1961.

Коржинский Д. С. Докембрий Алданской шипы  
и хр. Станового. Стратиграфия СССР, т. I, Изд-во, АН СССР, 1939.

Коржинский Д. С. Геология и полезные иско-  
паемые южного района ЯАССР. К десятлетию ЯАССР. Изд. АН СССР,  
1953.

Мощкин В. Н. Нижнепротерозойские образования  
хребтов Станового и Джулура. Докембрий восточных районов СССР,  
нов. серия, т. 59, 1961.

Мошкин В. Н., Альбов Ю. А. Основные  
черты мезозойского интрузионного материкового восточной части Сла-  
новика. Информ. сб. ВСЕГЕИ, № 17, 1959.

Фрумкин И. М. Новые данные по разработке стратиграфических  
схем Якутской АССР. Тезисы докладов, 1961.

#### Фондовая

Вознесенский Д. В. О летних полевых рабо-  
тах 1929 г. Сутамской геологической партии. ВГФ, 1930.

Гимельбронт Г. Б., Калганов Е. Н.  
и др. Геологическое строение и полезные ископаемые листа № 52-III,  
ВГФ, 1962.

Гильховский М. З., Михайлов Б. А.  
и др. Геологическое строение и полезные ископаемые листа № 52-II,  
ВГФ, 1962.

Зайцев А. А., Лазарев В. М. Отчет

Сутамского помского-маршрутного отряда за 1958 г. ВГФ, 1959.

Зверев В. Н. Золотоносные районы Якутской рес-  
публики. ВГФ, 1928.

Зубков В. Ф. Геологическое строение бассейнов  
рек Мульмыти, Мульгутана, Кохани, Верховьев Утуга и Бринты.  
ВГФ, 1953.

Итнатьев Т. Г. Отчет о работах в 1959 г. в се-  
верной части Амурской области. ВГФ, 1960.

Каденский А. А. Тектоно-петрографическая ха-  
рактеристика и магнетитовые месторождения Сутамского железоруд-  
ного района. Геологический отчет по работам 1951-52 гг. Фонды  
СОГС, 1953.

Каш А. Г. Геологическое строение и полезные ископаемые  
листа № 52-I. ВГФ, 1962.

Кукас А. И. Отчет о геологических исследованиях в  
бассейнах рек Сутам и Гонам. ВГФ, 1938.

Ларинов В. А. и др. Отчет аэрогеологической  
экспедии № 2 за 1952 г. ВГФ, 1953.

Лебедев М. М. Геологическое строение бассейнов  
верхних течений рек Сутам, Гилей, Унха и Десс. ВГФ, 1957.

Левинкин Н. Ф. Геолого-историко-экономическое  
описание объектов лобычи и разведки россыпного золота, расположенных на территории западной части Дамбукинского промиска треста  
Амурзолото. Фонды ДВГУ, 1949.

Минеев Е. В. Отчет о геологопомыховых исследова-  
ниях в бассейнах верхнего течения р. Бринты и среднего течения  
р. Дес. ВГФ, 1953.

Миронов Е. П., Тарасова В. Г. Гео-  
логическое строение левобережья среднего течения р. Олекмы (юго-  
западная часть листа 0-51). Фонды ВСЕГЕИ, 1951.

Нестреко С. П. Геологическое строение и  
полезные ископаемые листа № 52-УШ. ВГФ, 1960.

Сивцев. Доклад о результатах разведочных работ по  
Южно-Якутскому Главному промысловому управлению, 1929-1930 гг.  
ВГФ.

Фролова Е. Е. Геология Зейского рудного района.  
ВГФ, 1952.

Шпак Н. С., Богородицкая З. Ф.  
Геологическое строение района среднего течения рек Гонам, Сутам.  
Отчет о работе партии № 3 за 1953 г. ВГФ, 1954.

Сутамского помского-маршрутного отряда за 1958 г. ВГФ, 1959.

Зверев В. Н. Золотоносные районы Якутской рес-  
публики. ВГФ, 1928.

## Приложение Г

СИСТОМКА МАТЕРИАЛОВ, ИСПОЛЬЗОВАННЫХ ДЛЯ СОСТАВЛЕНИЯ  
КАРТЫ ПОЛЕЗНЫХ ИСКОПАЕМЫХ

№ п/п	Фамилия и ини- циалы автора	Название работы	составле- ние из- дания		Местонахож- дение мате- риала, его фондовый номер, или место хране- ния
			Год	нини	
1	2	3	4	5	
1	Глуховский М.З. и др.	Геологическое строение и полезные ископаемые территории листа №-52-Д Отчет о работе партии № 2 и № 3 за 1961 г.	1962	ВГФ, № 0239027	Фонды ДВИГ, № 06483
2	Лебедев М.М. и др.	Геологическое строение бассейнов верхних тече- ний рек Сутам, Гилей, Унаха и Десс	1957	ВГФ, № 197518	
3	Левкин Н.Ф.	Геолого-историко-эконо- мическое описание обь- ектов добычи и разведки российского золота, рас- положенных на террито- рии западной части Дам- букинского промышленного района Амурзолово	1949		
4	Минеев Е.В.	Отчет о геологогомиско- вых исследованиях в бас- сейнах верхнего течения р.Брянты и среднего тече- ния р.Десн	1953	ВГФ, № 0174101	
5	Рожков И.С., Болдирович Г.П. и др. (под общим ред. Рожкова И.С.)	Карта золотоносности и платиноносности СССР масштаба 1:1 000 000 с приложениями	1948	ВГФ, № 0015691	

1	2	3	4	5
Шлак Н.С. и др.	Геологическое стро- ение среднего течения рек Тонам и Сутам. Отчет о работе партии № 3 за 1953 г.	1954	ВГФ, № 0172521	

Приложение 2

СПИСОК ПРОМЫШЛЕННЫХ МЕСТОРОЖДЕНИЙ ПОЛЕЗНЫХ ИСКОПАЕМЫХ,  
ПОКАЗАННЫХ НА ЛИСТЕ №-52-Л КАРТЫ ПОЛЕЗНЫХ ИСКОПАЕМЫХ  
МАСШТАБА 1:200 000

№ на кар- те	Индекс на клетки	Наименование месторождения и вид полезно- го ископаемого	Состояние эксплуата- ции	№ исполь- зованного материала по списку (приложе- ние I)	Тип месторождения	
					1	2
1	2	3	4	5	6	

З о л о т о						
50	II-3	Алексеевское	Отработано	К	1,5	
47	II-2	Андреевский	Законсерви- ровано	п	1,5	
44	II-2	Андреевское	Отработано	п	1,5	
64	II-3	"	"	п	1,5	
64	III-3	Аненское	Законсерви- ровано	п	1,5	
70	IIУ-1	Р. Бранта	Не эксплуа- тировалось	п	4,5	
83	IIУ-2	То же	То же	п	4,5	
84	IIУ-2	"	"	п	4,5	
85	IIУ-2	"	"	п	4,5	
88	IIУ-2	"	"	п	4,5	
91	IIУ-2	"	"	п	4,5	
92	IIУ-2	"	"	п	4,5	
49	II-3	Веселый	Отработано	п	1,5	
38	II-2	Викторовское	"	Р	1,5	
76	IIУ-2	Дорожный	Законсерви- ровано	Р	4,5	
55	II-3	Михайловское	"	п	1,5	

Приложение 3

СПИСОК НЕПРОМЫШЛЕННЫХ МЕСТОРОЖДЕНИЙ ПОЛЕЗНЫХ ИСКОПАЕМЫХ, ПОКАЗАННЫХ НА ЛИСТЕ N-52-Л КАРТЫ ПОЛЕЗНЫХ ИСКОПАЕМЫХ МАСШТАБА 1:200 000

№ по кар- те	Индекс место- жел- я на карте	Наименование месторождения и вид полезно- го иско- паемого	Состояние эксплуата- ции	№ исполь- зованного материала по списку (приложе- ние 1)	
				типа месторождения (к-ко- ренное, р-россыпное)	типа дренирования
1	2	3	4	5	6
31	II-2	Тарынское	Не эксплуа- тировалось	P	I,2
80	IV-2	Брянинское	М е д ь To же	K	I,4
46	II-2	р.Андреевский Ключ	З о л о т о п	P	I
94	IV-3	р.Баби	п	п	3
69	IV-I	кл.Каптоги	п	п	3
87	IV-2	кл.Мамотка	п	п	3
10	I-2	р.Ниж.Джелinda	п	п	1,5
75	IV-2	кл.Парандельный	Не эксплуа- тировалось	п	3
78	IV-2	кл.Северный	п	п	3
74	IV-2	кл.Талий	п	п	3
II	I-2	р.Тарынок	п	п	1,5
43	II-2	р.Тарынок	п	п	I

1	2	3	4	5	6
81	IV-2	р.Устиркан (Зимовъекачи)	Не эксплуа- тировалось	P	3
71	IV-2	To же	п	п	3
73	IV-2	р.Хаккула	п	п	3

Приложение 4

Список проявлений полезных ископаемых,  
показанных на листе №-52-П карты полезных  
ископаемых масштаба 1:200 000

№	Индекс карты	Название (место- нахождение) прояв- ления и вид по- лезного исполь- зования	Характеристика проявления	№ использо- ванного ма- териала по списку (при- ложение 1)
1	2	3	4	5
29	I-4	р.Бол.Даурка	Вкрапленность магне- тита в амфиболитах с гранатом	I
26	I-4	реки Бол.Даурка- Сутам (водораз- дел)	То же	I,2
27	I-4	то же	"	I,2
28	I-4	"	"	I
20	I-4	р.Кабакта	Линзообразные тела, линизы, прослои кварц- магнетитового и кварц- магнетит-пироксенового состава среди кварцитов	I,2
22	I-4	р.Сутам		I,2
23	I-4	то же		I
24	I-4	"		I,2
25	I-4	"	Корианской свиты	I,2
<b>М а г н е т и т о в ы е р у ды</b>				
82	IУ-2	р.Брянка	Шлиховой ореол ильмени- та	I
14	I-3 I-4 I-4	р.Кабакта, Субкуутур I и р.Бол.Даурка	Шлиховой ореол рутила	I
32	I-1 II-2	р.Гарнак	Металлометрический ореол	I,2
3	I-1 II-2	р.Гарнак и р.Джелиндакан	Шлиховой ореол рутила и ильменита	I
<b>Х р о м</b>				
4	I-I	р.Джелиндакан	Шлиховой ореол хромита	I
21	I-4	реки Кабакта- Сутам (водораздел)	то же	I
<b>М е д ь</b>				
35	II-I	р.Десс	Налеты азурита и ма- лакита в трещинах среди албит-амфибо- ловых оротовикованных гнейсов	2
<b>С з и н е ц</b>				
34	II-2	р.Десс	Шлиховой ореол галени- та, руффенита, перус- сита и англезита	I
<b>Н и к е л ь , к о б а л ь т</b>				
89	II-2	р.Луча	Металлометрический ореол	I
63	III-3	р.Л.Аненский	З о л о т о	I
77	IУ-2	р.Брянка	Обломок обожженного кварца с золотом • Содержание 0,5 г/т то же	I

1	2	3	4	5	
1	2	3	4	5	
51 II-1 IУ-1	р.Дельберга, р.Десс	Обломок обожженного кварца с золотом. Содержание 0,5 г/т	I	40 II-2 Викторовское	В пачке кварцитов верх- ней алданской смыты лин- зообразные тела с вкрап- ленностью ортита и цир- кона. Размер 5-7x1-2 м
56 III-3 IУ-2	р.Брината	То же	I	49 I-4 р.Кабакта	Пегматитовая жила про- тяжённостью 1,5-2 м и мощностью 25-30 см с вкрапленностью ортита
9 I-2 II-2 III-3	р.Ниж.Джединда	Шлиховой ореол	I	54 I-2 р.Петровский Ключ	Пегматитовая жила мощ- ностью 1-1,5 м с вкрапленностью ортита и циркона
53 II-3 II-4	р.Мал.Даурка	Шлиховой ореол мо- льденита	I,2	39 II-2 р.Ниж.Джединда	Обломок кварци-полево- шпатовых пород с вкрапленностью ортита
57 II-4	р.Бог.Даурка	Редкие земли	I	42 II-2 р.Ниж.Джединда	Обломки кварц-полево- шпатовых пород с мел- кой вкрапленностью ортита
58 II-4	р.Бог.Даурка	Жила пегматоидных гра- нитов мощностью до 0,5 м с вкрапленностью ортита	I	45 II-2 р.Ниж.Джединда	То же
60 II-4	р.Брянта	Жила пегматоидных гра- нитов мощностью до 5- 7 м и протяженностью более 50 м с вкраплен- ностью ортита и мона- цитита	I	51 II-3 р.Ниж.Джединда - Ключ Алексеев- ский (водораздел)	Шлиховой ореол монацита ортита и оранжита
		Петматитовая жила с ор- титом и монацитом. Ви- димая протяженность 3 м. Мощность - 0,4 м		68 IУ-1 р.Олонгро	Несколько обломков аля- скитовых гранитов с мел- кой вкрапленностью цир- кона и ортита
				15 I-3 р.Субутутур II	То же
				13 I-3 р.Касакта	Вкрапленность ортита в аллюститовых гранитах.
				12 I-3 р.Сугам	

			1	2	3	4	5
3	I-I III-I	р.Десс	В и с м у т	Площадь минерализации $0,3 \times 0,5$ м			
9	II-4	р.Бол.Даурка		Вкрапленность ортита на контакте амфиболовых гранитов с митматитами	I		
10	II-I	р.Тарнаж		Петматомная инъекция мощностью до 0,2 м с вкрапленностью ортита	I		
57	III-3 III-4	р.Утугай р.Макит и Утугай	Р т у т ь	Инъекция кварц-полево- шпатового состава мощ- ностью до 1 м с вкрап- ленностью ортита и циркона	I		
5	I-I III-2	р.Тарнаж	To же	Шлиховой ореол монахита	I		
6	I-2	р.Тас-Дирях					
57	III-3 III-4	р.Утугай р.Макит и Утугай	To же	Кила аляскиловых грани- тов мощностью до 5 м с вкрапленностью ортита	I		
18	I-3	To же					
17	I-3	реки Сутам-Мал. Даурка (водо- раздел)					
2	I-1 I-2	реки Сутам- Тарнаж (водо-раздел)					
1	I-I						

			I	2	3	4	5
4I П-2	Горный хрусталь						
	Водоотдел рек Ниж. Джелинда- Тарнак						
86 ГУ-2	Мусковит	р.Бранта	Среди кварцитов верхне- алданской свиты кварце- вый жила мощностью до 1 м и протяженностью более 5 м. В ней пус- тоты с полуупрозрачными кристаллами кварца, размером до 4-5 см	I			
90 ГУ-2	То же	То же	Пегматитовые жилы разме- ром до 1 x 10 м с мелкими до 1 см <sup>2</sup> , перемычками пластинками мусковита	I			
93 ГУ-2	То же	То же		I			

## СОДЕРЖАНИЕ

	Стр.
Введение . . . . .	3
Стратиграфия . . . . .	8
Интузивные образования . . . . .	30
Тектоника . . . . .	44
Геоморфология . . . . .	53
Полезные ископаемые . . . . .	58
Подземные воды . . . . .	74
Литература . . . . .	77
Приложения . . . . .	80

Редактор И.С.Дудорова  
Корректор Г.И.Халтурин

Сдано в печать 23/XII 1968 г. Подписано к печати 26/III 1969г.  
Формат 60x90/16 Печ.л.6,0 Заказ 44с  
Тираж 100 экз.

Копировально-картоографическое предприятие

Всесоюзного геологического фонда